

МИНИСТЕРСТВО
ЭНЕРГЕТИКИ И ЭЛЕКТРИФИКАЦИЯ ССРС
ГЛАВТЕХСТРОЙПРОЕКТ
ВСЕСОЮЗНЫЙ ГОСУДАРСТВЕННЫЙ ПРОЕКТНО-ИЗЫСКАТЕЛЬСКИЙ
И НАУЧНО-ИССЛЕДОВАТЕЛЬСКИЙ ИНСТИТУТ
« ЭНЕРГОСЕТЬПРОЕКТ »

ТИПОВОЙ ПРОЕКТ

Унифицированные железобетонные
специальные опоры ВЛ 110 220 кв.

№ 407-4-25/75

Рабочие чертежи

ТОМ 5

Расчет анкерно-угловых опор

ВЛ 110 кв

(корректировка 1974 г.)

МОСКВА-1974 г

МИНИСТЕРСТВО
ЭНЕРГЕТИКИ И ЭЛЕКТРИФИКАЦИЯ СССР
ГЛАВТЕХСТРОЙПРОЕКТ
ВСЕСОЮЗНЫЙ ГОСУДАРСТВЕННЫЙ ПРОЕКТНО-ИЗЫСКАТЕЛЬСКИЙ
И НАУЧНО-ИССЛЕДОВАТЕЛЬСКИЙ ИНСТИТУТ
« ЭНЕРГОСЕТЬПРОЕКТ »

ТИПОВОЙ ПРОЕКТ

УНИФИЦИРОВАННЫЕ ЖЕЛЕЗОБЕТОННЫЕ
СПЕЦИАЛЬНЫЕ ОПОРЫ ВЛ 110 220 КВ.

№ 407-4-25/75

РАБОЧИЕ ЧЕРТЕЖИ

ТОМ 5

РАСЧЕТ АНКЕРНО-УГЛОВЫХ ОПОР
ВЛ 110 КВ

(корректировка 1974 г.)

ГЛАВНЫЙ ИНЖЕНЕР
ИНСТИТУТА



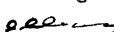
/С. РОКОТЯН/

НАЧ. ТЕХНИЧЕСКОГО ОТДЕЛА
ИНСТИТУТА



/М. РЕУТ/

ГЛАВНЫЕ СПЕЦИАЛИСТЫ
ИНСТИТУТА



/А. ЛЕВИН/



/В. ОВСЕНКО/

МОСКВА - 1974 г

МИНИСТЕРСТВО
ЭНЕРГЕТИКИ И ЭЛЕКТРИФИКАЦИИ СССР
ГЛАВТЕХСТРОЙПРОЕКТ
ВСЕСОЮЗНЫЙ ГОСУДАРСТВЕННЫЙ ПРОЕКТНО-ИЗЫСКАТЕЛЬСКИЙ
И НАУЧНО-ИССЛЕДОВАТЕЛЬСКИЙ ИНСТИТУТ
«ЭНЕРГОСЕТЬПРОЕКТ»

СЕВЕРО-ЗАПАДНОЕ ОТДЕЛЕНИЕ

ТИПОВОЙ ПРОЕКТ

УНИФИЦИРОВАННЫЕ ЖЕЛЕЗОБЕТОННЫЕ
СПЕЦИАЛЬНЫЕ ОПОРЫ ВЛ 110-220 кв.


№ 407-4-25/75

РАБОЧИЕ ЧЕРТЕЖИ
ТОМ 5

РАСЧЕТ АНКЕРНО-УГЛОВЫХ ОПОР
ВЛ 110 кв.

(корректировка 1974г.)

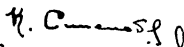
ГЛАВНЫЙ ИНЖЕНЕР

 / К. КРЮКОВ /

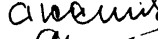
ЗАМ. НАЧ. ТЕХНИЧЕСКОГО
ОТДЕЛА

 / В. ГАЛЬПЕРИН /


НАЧ. ОТДЕЛА ТИПОВОГО
ПРОЕКТИРОВАНИЯ

 / К. СИНЕЛОВОВ /

ГЛАВНЫЙ СПЕЦИАЛИСТ Т.О.

 / А. КУРНОСОВ /

ГЛАВНЫЙ ИНЖЕНЕР ПРОЕКТА

 / С. ШТИН /

ЛЕНИНГРАД - 1974 г.

Аннотация

Настоящий том содержит расчет анкерно-угловых опор и концевой опоры ВЛ 110 кВ типового проекта «Унифицированные железобетонные специальные опоры ВЛ 110 ÷ 220 кВ. Шифры опор УСБ 110-1, УСБ 110-3 и КСБ 110-1

Расчет произведен по методу предельных состояний.

Статический расчет анкерно-угловых опор выполнен на ЭЦВМ «Урал-2» по «Программе расчета одностоечной опоры с двумя расщепленными и одной одиночной оттяжками», инв. № 3002 ТМ-Т6.

Статический расчет концевой опоры также выполнен на ЭЦВМ «Урал-2» по «Программе расчета одностоечной опоры с тремя расщепленными оттяжками на ЭЦВМ «Урал-2»

инв. № 3002 ТМ-Т7.

В томе приведены расчеты железобетонной цилиндрической стойки и металлических элементов концевой опоры, а также выполнена проверка габаритов приближения токобедущих частей.

Расчет корректировки не требует

Листу присвоена литера «Д» в связи
замечанием о корректировке
Рук. гр. Швабел (Шванова)

№3002ТМ-Т5	лист
литера Д	4 / 4

Состав проекта.

- Том 1. Пояснительная записка N 3083ТМ-Т1
- Том 2. Рабочие чертежи промежуточных
и промежуточно-угловых опор
ВЛ 110 ÷ 220 кВ N 3083ТМ-Т2
- Том 3. Рабочие чертежи анкерно-угловых
опор ВЛ 110 кВ N 3083ТМ-Т3
- Том 4. Расчет промежуточных и промежу-
точно-угловых опор ВЛ 110 ÷ 220 кВ N 3083ТМ-Т4
- Том 5. Расчет анкерно-угловых опор
ВЛ 110 кВ. N 3083ТМ-Т5
- Том 6. Патентный формуляр N 3083ТМ-Т6
(хранится в ПК СЗО)

Содержание тома 5.

1. Титульные листы N 3083ТМ-Т5, листы 1÷3
2. Аннотация N 3083ТМ-Т5, лист 4
3. Состав проекта лист 5
4. Содержание тома лист 6
5. Общая часть листы 7÷9
6. Расчетный эскиз анкерно-угловых опор лист 10
7. Таблица исходных данных для расчета анкерно-угловых опор на ЭЦВМ „Урал-2” лист 11
8. Таблицы результатов статического расчета анкерно-угловых опор листы 12÷14
9. Расчетный эскиз концевой опоры лист 15
10. Таблица исходных данных для расчета концевой опоры на ЭЦВМ „Урал-2” лист 16
11. Таблица результатов статического расчета концевой опоры лист 17
12. Эпюры изгибающих моментов и перерезывающих сил лист 18
13. Расчет железобетонной стойки СЦ-2 листы 19÷24
14. Расчет металлических элементов листы 25÷32
15. Расчет габаритов приближения к телу опоры. листы 33-44

Общая часть.

Статический расчет анкерно-угловых опор ВЛ 110 кВ произведен на ЭЦВМ "Урал 2" по программе расчета одностоечной опоры, с двумя расщепленными и одной одиночной оттяжками инв. № 3002 тм - Т6, концевой опоры ВЛ 110 кВ по программе расчета одностоечной опоры с тремя расщепленными оттяжками инв. № 3002 тм - Т7

В основу программ положена методика расчета рекомендуемая пособием по расчету опор на оттяжках (инв. № 3004 тм - Т1)

В отличие от рекомендуемого в пособии метода сил при расчете статически неопределимых систем в программе решается система уравнений, оставленная на основе принципа общности деформации механической системы.

В результате расчета выдаются следующие данные:

1. Усилия в оттяжках
2. Нагрузки на фундаменты, т.е. вертикальная и горизонтальные силы, ориентированные вдоль соответствующих координатных осей как для подножника под стойку (опорную плиту), так и для анкерных плит
3. Изгибающий момент в стойке опоры на уровне поясов нижней траверсы, действующий в плоскости симметрии опоры (XZ).

4. Перемещения оси стойки ΔX , Δy на уровне поясов нижней траверсы вдоль горизонтальных осей X и y .

5. Углы поворота траверсы относительно осей y и z для анкерно-угловой опоры.

Расчет анкерно-угловой опоры ведется на нагрузки при изменении углов поворота β через 10° , при этом нагрузки на опору вычисляются автоматически по общим исходным данным. Расчет концевой опоры проведен для трех значений углов поворота 0° , 30° и 60°

Общие исходные данные состоят из двух групп

Группа "а": $a, c, d, d_0, e, H, H_0, h_0, h_1, -$ геометрические характеристики опоры, E - модуль упругости оттяжек, F_1, F_2, F_3, F_5 - площадь поперечного сечения оттяжек, B_c - жесткость железобетонной стойки, T_{01}, T_{02}, T_{05} - предварительное натяжение в оттяжках, $L_{пр}, L_{лев}, L_{в}, h_2$ и h_3 - расстояния, определяющие крепление проводов и троса - на опоре, e_b - расчетный ветровой пролет, K - количество проводов в фазе.

Группа "б" P_B - ветровая нагрузка на конструкцию опоры, $P_{п}$ - погонная ветровая нагрузка на провод, P_T - погонная ветровая нагрузка на трос, $T_a', T_b', T_c', T_a'', T_b'', T_c''$ - тяжение в проводах, T_T' и T_T'' - тяжения в тросе, M_B - момент относительно оси "у" от ветра на конструкцию опоры; M_B' - момент на уровне крепления троса нижней траверсы к стойке от ветра на верхнюю часть опоры.

M_d - момент относительно оси "у" от весовых нагрузок; M_d' - момент на уровне тяг нижней траверсы от весовых нагрузок; G - суммарный вес конструкции опоры, проводов и троса; W - погонная ветровая нагрузка на стойку опоры;

Q - сосредоточенная горизонтальная сила на стойку опоры; t - расстояние от оси "X" до силы Q .

Для статического расчета жёсткость стойки принята: для концевой опоры - после раскрытия трещин; для анкерно-угловых опор - до раскрытия трещин

Все расчеты выполнены по методу предельных состояний.

Для анкерно-угловых опор железобетонная стойка разработана в трех вариантах армирования: стержневом, проволочном, прядевом. Для концевой опоры разработана только в стержневом варианте. Расчет железобетонных стоек выполнен в соответствии с "Инструкцией по расчету железобетонных опор и фундаментов к ним" инв. N 1070 тм.

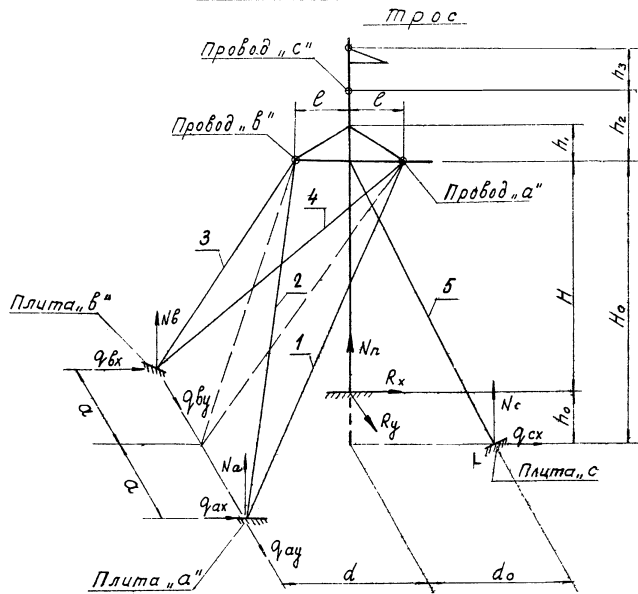
Расчет металлических элементов опоры выполнен в соответствии с "Инструкцией по расчету стальных опор и фундаментов к ним" инв. N 1562 тм.

Расчет стоек и металлических элементов для анкерно-угловых опор см. инв. N 3082 тм - Т7.

Расчетный эскиз опор УСБ 110-1

/ УСБ 110-3 /

Геометрические характеристики опор



Обозначение	В е л и ч и н а		
	УСБ 110-1	УСБ-110-3	
		при H=10,5м	при H=8,5м
a [см]	1270	810	710
d [см]	750	510	510
do [см]	750	510	510
e [см]	310	310	310
H0 [см]	1920	1350	1150
H [см]	1600	1250	1050
h0 [см]	320	100	100
h1 [см]	200	200	200
h2 [см]	400	400	400
h3 [см]	250	200	200

Расчетные длины оттяжек

Обозначение	В е л и ч и н а		
	УСБ 110-1	УСБ 110-3 при H=10,5	УСБ 110-3 при H=8,5м
L от 1, L от 4	$\sqrt{127^2 + 10,6^2 + 19,2^2} = 25,35$	$\sqrt{81,5^2 + 8,2^2 + 8,1^2} = 17,75$	$\sqrt{11,5^2 + 8^2 + 7,1^2} = 15,81$
L от 2, L от 3	$\sqrt{127^2 + 4,4^2 + 19,2^2} = 23,46$	$\sqrt{13,5^2 + 2^2 + 8,1^2} = 15,87$	$\sqrt{11,5^2 + 2^2 + 7,1^2} = 13,66$
L от 5	$\sqrt{19,2^2 + 7,5^2} = 20,6$	$\sqrt{13,5^2 + 5,1^2} = 14,43$	$\sqrt{11,5^2 + 1^2} = 12,53$

Таблица исходных данных для расчёта опор УСБ 110-1, УСБ 110-3
 по программе N 3002 тм - Т6
 Провод АСО-240 (АС-150), трос С-50 (канат ТК 9,1 ГОСТ 3063-66)

на ЭЦВМ "Урал 2"

Опора УСБ 110-1							Опора УСБ 110-3 при H=10,5 м							Опора УСБ 110-5 при H=8,5 м							Примечание			
Обозначение	Размерность	Числовое значение	Обозначение	Размерность	Числовое значение			Обозначение	Размерность	Числовое значение	Обозначение	Размерность	Числовое значение			Обозначение	Размерность	Числовое значение	Обозначение	Размерность		Числовое значение		
					II реж.	III режим	Среднеэжст. режим II						II реж.	III режим	Среднеэжст. режим II							II реж.	III режим	Среднеэжст. режим II
a	см	1270	PВ	кг	262	0	0	a	см	810	PВ	кг	240	0	0	a	см	710	PВ	кг	240	0	0	1. Максимальное тяжение в тросе $E_{\max} = 45 \text{ кг/мм}^2$. 2. В аварийном режиме нагрузки подсчитаны при условии обрыва двух проводов АС-150. 3. Нагрузки для повышенных опоры УСБ 110-1 см. расчет N 3082 тм - Т7. В расчете для нормальной опоры УСБ 110-1. Были приняты нагрузки по схеме повышенный опоры.
d	"	750	Pп	кг/м	1,45	0	0	d	"	510	Pп	кг/м	1,45	0	0	d	"	510	Pп	кг/м	1,45	0	0	
d ₀	"	750	Pт	"	1,248	0	0	d ₀	"	510	Pт	"	1,16	0	0	d ₀	"	510	Pт	"	1,16	0	0	
e	"	310	Ta'	кг	4350	2360	1330	e	"	310	Ta'	кг	4350	2360	1330	e	"	310	Ta'	кг	4350	2360	1330	
H ₀	"	1920	Tb'	"	4350	2360	1330	H ₀	"	1350	Tb'	"	4350	2360	1330	H ₀	"	1150	Tb'	"	4350	2360	1330	
H	"	1600	Tc'	"	4350	2360	1330	H	"	1250	Tc'	"	4350	2360	1330	H	"	1050	Tc'	"	4350	2360	1330	
h ₀	"	320	Tt'	"	3065	2450	980	h ₀	"	100	Tt'	"	3065	2450	980	h ₀	"	100	Tt'	"	3065	2450	980	
h ₁	"	200	Ta''	"	4350	0	1330	h ₁	"	200	Ta''	"	4350	0	1330	h ₁	"	200	Ta''	"	4350	0	1330	
E	кг/см ²	1,5 × 10 ⁶	Tb''	"	4350	2360	1330	E	кг/см ²	1,5 × 10 ⁶	Tb''	"	4350	2360	1330	E	кг/см ²	1,5 × 10 ⁶	Tb''	"	4350	2360	1330	
F ₁	см ²	2,82	Tc''	"	4350	0	1330	F ₁	см ²	2,82	Tc''	"	4350	0	1330	F ₁	см ²	2,82	Tc''	"	4350	0	1330	
F ₂	"	2,82	Tt''	"	3065	2450	980	F ₂	"	2,82	Tt''	"	3065	2450	980	F ₂	"	2,82	Tt''	"	3065	2450	980	
F ₅	"	2,82	MВ	кгсм	-8,16 × 10 ⁴	0	0	F ₅	"	2,82	MВ	кгсм	-0,84 × 10 ⁴	0	0	F ₅	"	2,82	Tt''	"	3065	2450	980	
Bc	кгсм ²	118 × 10 ⁹	Mg	"	2,77 × 10 ⁴	2,36 × 10 ⁴	1,91 × 10 ⁴	Bc	кгсм ²	118 × 10 ⁹	Mg	"	2,77 × 10 ⁴	2,36 × 10 ⁴	1,91 × 10 ⁴	Bc	кгсм ²	118 × 10 ⁹	Mg	"	2,77 × 10 ⁴	2,36 × 10 ⁴	1,91 × 10 ⁴	
Tos	кг	10000	Mb'	"	1,06 × 10 ⁴	0	0	Tos	кг	10000	Mb'	"	1,92 × 10 ⁴	0	0	Tos	кгсм	118 × 10 ⁹	Mg	"	2,77 × 10 ⁴	2,36 × 10 ⁴	1,91 × 10 ⁴	
eB	м	230	Mg'	"	2,77 × 10 ⁴	-28,44 × 10 ⁴	1,91 × 10 ⁴	eB	м	230	Mg'	"	2,77 × 10 ⁴	-28,44 × 10 ⁴	1,91 × 10 ⁴	eB	кг	10000	Mb'	"	3,15 × 10 ⁴	0	0	
L пр	см	310	G	кг	16175	12040	10450	L пр	см	310	G	кг	15550	11700	9840	L пр	м	230	Mg'	"	2,77 × 10 ⁴	-28,44 × 10 ⁴	1,91 × 10 ⁴	
L лев	"	310	W	кг/см	0,8 × 10 ⁻¹	0	0	L лев	"	310	W	кг/см	0,8 × 10 ⁻¹	0	0	L лев	см	310	G	кг	15450	11630	9770	
L в	"	0	Схема основной нагрузки при α=0					L в	"	0	Схема основной нагрузки при α=0					L в	"	310	W	кг/см	0,8 × 10 ⁻¹	0	0	
h ₂	"	400						h ₂	"	400						h ₂	"	0	Схема основной нагрузки при α=0					
h ₃	"	250						h ₃	"	200						h ₃	"	400						
																		200						

Результаты статического расчета опоры УСБ 110-1

произведенного на ЭЦВМ „Урал 2“

Результаты расчета		Нормальный режим II, $q = 14 \text{ кН/м}^2$, $c = 20 \text{ мм}$						Аварийный режим III, обрыв верхнего и левого проводов АС-150						Среднеэксплуатационный режим II								
		0°	10°	20°	30°	40°	50°	60°	0°	10°	20°	30°	40°	50°	60°	0°	10°	20°	30°	40°	50°	60°
Углы в отпарывах	T_1	3776	5072	6354	7612	9121	10948	12694	0	0	398	1006	1628	2264	2905	3065	3465	3861	4251	4632	5001	5335
	T_2	4072	6388	8679	10925	13441	16200	18864	1463	2597	3718	4824	5915	6984	8020	2862	3581	4294	4997	5683	6348	6986
	T_3	4072	6388	8679	10925	13441	16200	18864	4185	5303	6399	7453	8473	9450	10377	2862	3581	4294	4997	5683	6348	6986
	T_4	3776	5072	6354	7612	9121	10948	12964	7652	7621	7935	8398	8821	9200	9533	3065	3465	3861	4251	4632	5001	5335
	T_5	8674	6197	3747	1345	0	0	0	11056	9137	7742	6638	5560	4516	3573	9993	9226	8466	7717	6986	6277	5596
Гор. реакция под стальной	R_x	18,20	33,10	87,7	133,3	170,1	190,6	210,2	238,7	101,0	77,4	111,4	144,7	176,9	207,9	3,2	19,6	35,9	51,3	67,4	82,5	97,1
Перемещение оси стальной по уровню проводов	ΔX	1,77	5,09	8,37	11,59	15,27	18,53	23,60	-1,41	1,16	3,02	4,60	5,94	7,34	8,68	$0,9 \cdot 10^{-2}$	1,03	2,05	8,66	4,03	4,98	5,89
	Δy	$+0,66 \cdot 10^{-3}$	$+0,19 \cdot 10^{-3}$	$+0,31 \cdot 10^{-3}$	$+0,43 \cdot 10^{-3}$	$+0,56 \cdot 10^{-3}$	$+0,71 \cdot 10^{-3}$	$+0,86 \cdot 10^{-3}$	4,26	3,29	2,93	2,88	2,80	2,70	2,58	$0,71 \cdot 10^{-3}$	$0,38 \cdot 10^{-3}$	$0,77 \cdot 10^{-3}$	$0,11 \cdot 10^{-3}$	$0,16 \cdot 10^{-3}$	$0,18 \cdot 10^{-3}$	$0,22 \cdot 10^{-3}$
Угол поворота стальной оси	φ	$0,26 \cdot 10^{-3}$	$0,79 \cdot 10^{-3}$	$0,13 \cdot 10^{-2}$	$0,18 \cdot 10^{-2}$	$0,22 \cdot 10^{-2}$	$0,25 \cdot 10^{-2}$	$0,27 \cdot 10^{-2}$	$0,18 \cdot 10^{-2}$	$0,93 \cdot 10^{-3}$	$0,71 \cdot 10^{-3}$	$0,005 \cdot 10^{-3}$	$0,14 \cdot 10^{-3}$	$0,17 \cdot 10^{-2}$	$0,20 \cdot 10^{-2}$	$0,31 \cdot 10^{-3}$	$0,20 \cdot 10^{-3}$	$0,37 \cdot 10^{-3}$	$0,53 \cdot 10^{-3}$	$0,69 \cdot 10^{-3}$	$0,84 \cdot 10^{-3}$	$0,99 \cdot 10^{-3}$
Угол поворота стальной оси	β	$0,34 \cdot 10^{-3}$	$-0,99 \cdot 10^{-3}$	$-0,16 \cdot 10^{-2}$	$-0,23 \cdot 10^{-2}$	$-0,29 \cdot 10^{-2}$	$-0,37 \cdot 10^{-2}$	$-0,45 \cdot 10^{-2}$	$0,92 \cdot 10^{-2}$	$0,61 \cdot 10^{-2}$	$0,51 \cdot 10^{-2}$	$0,48 \cdot 10^{-2}$	$0,46 \cdot 10^{-2}$	$0,47 \cdot 10^{-2}$	$0,44 \cdot 10^{-2}$	$0,56 \cdot 10^{-3}$	$0,24 \cdot 10^{-3}$	$0,41 \cdot 10^{-3}$	$0,60 \cdot 10^{-3}$	$0,80 \cdot 10^{-3}$	$0,99 \cdot 10^{-3}$	$0,12 \cdot 10^{-3}$
Вер. момент на уровне павы	M_c	-72129	-154079	-235072	-314494	-373375	-406169	-437468	-381962	-16166	-123905	-176384	-231604	-283158	-332635	-5092	-31282	-57272	-82865	-107867	-132086	-155339
Гор. реакция под стальной	R_y	0	0	0	0	0	0	0	590	588	581	570	554	534	511	0	0	0	0	0	0	0
Вер. реакция под стальной	N_n	-36648	-40100	-43514	-46863	-51968	-59305	-66318	-32080	-3217	-33166	-34721	-36239	-37710	-39122	-29099	-30168	-31229	-32273	-33243	-34281	-35231
Углы на опорных плитах	N_a	6196	9076	11923	14717	17897	21565	25071	1199	212	3347	4714	6080	7437	8771	4667	5559	6443	7314	8185	8989	9780
	φ_{ax}	2344	3321	4287	5235	6333	7620	8851	275	488	864	1326	1792	2258	2720	1819	2121	2421	2716	3004	3283	3552
	φ_{ay}	-4099	-6004	7887	-9735	-11838	-14264	16584	-793	-140	-2214	-3118	-4022	-4919	-5802	-3087	-3677	-4262	-4838	-5401	-5946	-6470
	N_b	6196	9076	11923	14717	17897	21565	25071	9226	1012	11253	12468	13624	14712	15724	4667	5559	6443	7314	8185	8989	9780
	N_{bx}	2344	3321	4287	5235	6333	7620	8851	3987	418	4320	4912	5280	5622	5935	1819	2121	2421	2716	3004	3283	3552
	N_{by}	4099	6004	7887	9735	11838	14264	16584	6103	689	7443	8247	9012	9731	10400	3087	3677	4262	4838	5401	5946	6470
	N_c	8080	5772	3491	1252	0	0	0	10297	850	7211	6183	5179	4207	3273	9308	8594	7885	7188	6507	5847	5213
	φ_{cx}	-3156	-2255	-1363	-489	0	0	0	-4027	-332	-2816	-2415	-2023	-1643	-1278	-3636	-3357	-3080	-2808	-2541	-2284	-2036

Результаты статического расчета опоры УСБ 110-3 при H=10,5 м произведенного на эцвм "Урал 2"

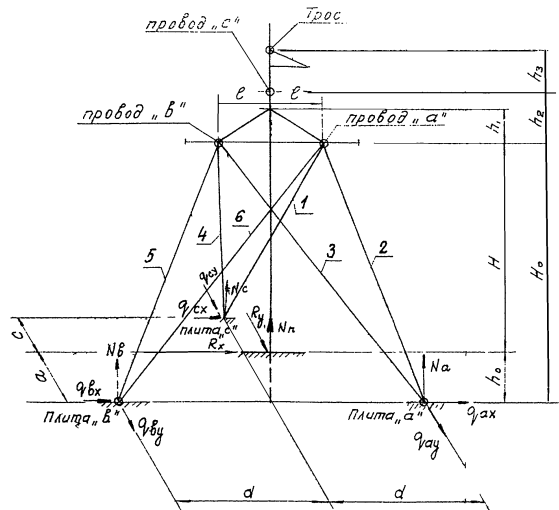
Результаты расчета		Нормальный режим II, $q_0 = 4 \text{ кг/м}^2$, $C = 20 \text{ мм}$						Аварийный режим III левого прохода						Обратный режим АС-150						Средне эксплуатационный режим II							
		0°	10°	20°	30°	40°	50°	60°	0°	10°	20°	30°	40°	50°	60°	0°	10°	20°	30°	40°	50°	60°	0°	10°	20°	30°	40°
Усилия в оптяжках	Узел поворота в	T_1	3827	5272	6701	8104	9835	11819	13716	0	?	99,9	791	1499	2221	2948	3069	3514	3957	4392	4817	5230	5625				
	T_2	4040	6435	8803	11127	13757	16612	19342	1242	2386	3532	4676	5804	6940	7983	2772	3575	4253	4979	5689	6376	7036					
	T_3	4040	6435	8803	11127	13757	16612	19342	4294	526	6538	7623	8672	9676	10627	2772	3515	4253	4979	5689	6376	7036					
	T_4	3827	5272	6701	8104	9835	11819	13716	8585	8353	8555	9084	9567	10001	10383	3069	3514	3957	4392	4817	5230	5625					
	T_5	8651	6109	3596	1130	0	0	0	11865	9707	7670	6535	5425	4351	3319	9991	9204	8424	7655	6904	6177	5478					
Гор. реакция под стоек	R_x	-10,86	22 10	54,70	86,67	99,90	97,33	94,86	470	235	66,29	90,94	115	138	160	3,15	13,84	24,44	34,89	45,09	54,97	64,46					
Перемещение оси стоек на уровне поводов гра в верш	ΔX	1,30	3,75	6,78	8,56	11,36	14,48	17,46	-1,80	0,3	2,25	3,34	4,42	5,45	6,44	$0,88 \cdot 10^{-2}$	0,8	1,52	2,26	2,98	3,69	4,36					
	ΔY	$-0,6 \cdot 10^{-11}$	$-0,14 \cdot 10^{-10}$	$-0,23 \cdot 10^{-10}$	$-0,32 \cdot 10^{-10}$	$-0,43 \cdot 10^{-10}$	$-0,54 \cdot 10^{-10}$	$-0,65 \cdot 10^{-10}$	4,23	3,3	2,49	2,44	2,38	2,29	2,19	$-0,9 \cdot 10^{-13}$	$0,3 \cdot 10^{-11}$	$-0,59 \cdot 10^{-11}$	$0,87 \cdot 10^{-11}$	$-0,11 \cdot 10^{-11}$	$-0,14 \cdot 10^{-10}$	$-0,17 \cdot 10^{-10}$					
Углы поворота верш стоек относительно осей X и Y	φ	$0,17 \cdot 10^{-3}$	$0,44 \cdot 10^{-3}$	$0,71 \cdot 10^{-3}$	$0,97 \cdot 10^{-3}$	$0,11 \cdot 10^{-2}$	$0,12 \cdot 10^{-2}$	$0,12 \cdot 10^{-2}$	$0,23 \cdot 10^{-2}$	$0,12 \cdot 10^{-2}$	$0,37 \cdot 10^{-3}$	$0,56 \cdot 10^{-3}$	$0,74 \cdot 10^{-3}$	$0,91 \cdot 10^{-3}$	$0,10 \cdot 10^{-2}$	$0,21 \cdot 10^{-4}$	$0,1 \cdot 10^{-3}$	$0,19 \cdot 10^{-3}$	$0,28 \cdot 10^{-3}$	$0,36 \cdot 10^{-3}$	$0,44 \cdot 10^{-3}$	$0,52 \cdot 10^{-3}$					
	β	$0,64 \cdot 10^{-14}$	$-0,18 \cdot 10^{-13}$	$-0,30 \cdot 10^{-13}$	$-0,41 \cdot 10^{-13}$	$-0,54 \cdot 10^{-13}$	$-0,68 \cdot 10^{-13}$	$-0,82 \cdot 10^{-13}$	$0,1 \cdot 10^{-11}$	$0,7 \cdot 10^{-2}$	$0,44 \cdot 10^{-2}$	$0,44 \cdot 10^{-2}$	$0,42 \cdot 10^{-2}$	$0,41 \cdot 10^{-2}$	$0,39 \cdot 10^{-2}$	$-0,11 \cdot 10^{-16}$	$0,38 \cdot 10^{-14}$	$0,74 \cdot 10^{-14}$	$-0,11 \cdot 10^{-13}$	$-0,14 \cdot 10^{-13}$	$-0,18 \cdot 10^{-13}$	$-0,21 \cdot 10^{-13}$					
Узл. моменты в уровне повод	M_c	-48919	-90134	-130875	-170830	-187375	184165	-181074	-58790	$31^{\circ} 53'$	-82872	113674	143763	-172011	-200896	-3942	-17301	-30558	-43613	-36366	-68720	-80581					
Гор. реакция под стоек	R_y	0	0	0	0	0	0	0	755	752	744	729	709	684	654	0	0	0	0	0	0	0					
Верт. реакция под стоек	N_n	-3634	-40232	-44084	-47863	-53915	-61791	-63320	-34038	-33930	-34024	-35786	-37507	-39174	40775	-28570	-29777	-30974	-32153	-33305	-34420	-35492					
Усилия на анкерные плиты	N_a	6347	9483	12585	15628	19183	23120	268851	1056	2129	3081	4579	6078	7567	9034	4692	5663	6627	7576	8503	9401	10263					
	Q_{ax}	2277	3246	4205	5146	6277	7553	8774	156	301	491	954	1424	1897	2368	1767	2066	2364	2656	2942	3219	3485					
	Q_{ay}	-3808	5690	7551	-9377	-11510	-13872	-16131	-634	-1217	1848	-2747	-3647	-4540	-5420	2815	3398	-3976	-4546	-5102	-5641	-6158					
	N_b	6347	9483	12585	15628	19183	23120	26885	10182	11420	12067	13394	14653	158	16936	4692	5663	6627	7576	8503	9401	10263					
	N_{bx}	2277	3246	4205	5146	6277	7553	8774	4507	4635	4776	5157	5512	5839	6136	1767	2066	2364	2656	2942	3219	3485					
	N_{by}	3808	5690	7551	9377	11510	13872	16131	6109	6972	7240	8036	8792	9502	10161	2815	3398	3976	4546	5102	5641	6158					
	N_c	8093	5715	3364	1056	0	0	0	11099	9021	7175	6113	5075	4070	3105	9346	8610	7880	7161	6459	5778	5125					
Q_{cx}	3057	-2159	-1271	-399	0	0	0	-4193	-3131	-2711	-2300	-1917	-1537	-1173	-3531	-3253	-2977	-2705	-2440	-2183	-1936						

Результаты статического расчета опоры УСБ 110-3 при H=8,5 м произведенного на ЭЦВМ „Урал 2“

Результаты расчета		Нормальный режим II; q=14 кг/м ² ; C=20 мм							Аварийный режим III; Обрыв верхнего и левого провода ЯС-150							Средне эксплуатационный режим II							
		0°	10°	20°	30°	40°	50°	60°	0°	10°	20°	30°	40°	50°	60°	0°	10°	20°	30°	40°	50°	60°	
Усилия в оттяжках	Угол поворота ВП																						
	T ₁	3774	5000	6212	7402	8573	10282	11916	0	0	0	425	1045	1679	2326	3135	3513	3888	4257	4617	4967	53,02	
	T ₂	3927	6123	8296	10427	12515	15119	17608	1142	2208	3279	4341	5387	6414	7412	2738	3420	4097	4764	5415	6046	6651	
	T ₃	3927	6123	8296	10427	12515	15119	17608	4277	5332	6367	7369	8334	9255	10127	2738	3420	4097	4764	5415	6046	6651	
	T ₄	3774	5000	6212	7402	8573	10282	11916	8882	8849	8748	9006	9392	9730	10018	3135	3513	3888	4257	4617	4967	5302	
T ₅	8785	6522	4284	2088	0	0	0	11883	10045	8173	6905	5916	4957	4036	9991	9291	8596	7911	7242	6595	5973		
Гор. реакция под стоеккой	R _x	-3,22	24,65	52,19	79,20	104,4	84,51	65,48	583	871	146	95,37	119	142	164	3,75	12,97	22,11	31,11	39,91	48,43	56,60	
Перемещен. ось стоеккой на уровне поясов траверсы	ΔX	0,9	2,55	4,19	-5,80	7,38	9,52	11,52	1,38	-0,33·10 ⁻¹	1,34	2,27	2,99	3,69	4,37	0,64·10 ⁻²	0,52	0,10	1,53	2,02	2,49	2,95	
	ΔY	-0,81·10 ⁻¹¹	-0,23·10 ⁻¹⁰	-0,37·10 ⁻¹⁰	-0,52·10 ⁻¹⁰	-0,66·10 ⁻¹⁰	-0,83·10 ⁻⁹	-0,1·10 ⁻⁹	3,87	3,21	2,50	2,25	2,19	2,12	2,02	-0,15·10 ⁻¹²	-0,47·10 ⁻¹¹	0,93·10 ⁻¹¹	-0,13·10 ⁻¹⁰	-0,18·10 ⁻¹⁰	-0,22·10 ⁻¹⁰	-0,26·10 ⁻¹⁰	
Угол поворота траверсы относительно осей Y и Z	γ	0,15·10 ⁻³	0,35·10 ⁻³	0,56·10 ⁻³	0,76·10 ⁻³	0,95·10 ⁻³	0,97·10 ⁻³	0,99·10 ⁻³	0,20·10 ⁻²	0,13·10 ⁻²	0,38·10 ⁻³	0,45·10 ⁻³	0,59·10 ⁻³	0,73·10 ⁻³	0,87·10 ⁻³	0,19·10 ⁻⁴	0,85·10 ⁻⁴	0,15·10 ⁻³	0,21·10 ⁻³	0,28·10 ⁻³	0,34·10 ⁻³	0,4·10 ⁻³	
	β	-0,22·10 ⁻¹³	-0,63·10 ⁻¹³	-0,1·10 ⁻¹²	-0,14·10 ⁻¹²	-0,18·10 ⁻¹²	-0,23·10 ⁻¹²	-0,27·10 ⁻¹²	0,93·10 ⁻²	0,12·10 ⁻²	0,49·10 ⁻²	0,42·10 ⁻²	0,41·10 ⁻²	0,39·10 ⁻²	0,38·10 ⁻²	-0,43·10 ⁻⁵	-0,13·10 ⁻³	-0,25·10 ⁻³	-0,38·10 ⁻³	-0,50·10 ⁻³	-0,61·10 ⁻³	-0,73·10 ⁻³	
Взг. момент на уровне поясов	M _c	-40717	-69981	-98903	-127261	-153720	-132839	-112857	-612700	-390094	-153616	-100141	-125231	-149538	-172869	-3946	-13618	-23218	-32670	-41905	-50850	-59438	
Гор. реакция под стоеккой	R _y	0	0	0	0	0	0	0	899	896	885	868	845	814	778	0	0	0	0	0	0	0	
Верх. реакция под стоеккой	N _n	-35584	-38996	-42370	-45682	-48993	-55863	-62430	-33515	-13597	-33585	-34660	-36179	-37650	-39063	-28074	-29132	-30181	-31215	-32224	-33202	-34141	
Усилия на анкерные плиты	N _a	6051	8792	11502	14161	16771	20206	23490	961	1859	2760	3963	5294	6620	7931	4586	5435	6277	7107	7017	8702	9456	
	q _{ax}	2533	3490	4437	5366	6279	7547	8759	167	323	480	856	1330	1810	2291	2027	2323	2616	2905	3188	3461	3724	
	q _{ay}	-3736	-5428	-7101	-8743	-10354	-12475	-14502	-593	-1147	-1704	-2447	-3269	-4087	-4896	-2831	-3355	-3875	-4387	-4888	-5372	-5838	
	N _b	6051	8792	11502	14161	16771	20206	23490	10062	10925	11723	12754	13847	14869	15812	4586	5435	6277	7107	7017	8702	9456	
	N _{bx}	2533	3490	4437	5366	6279	7547	8759	5234	5371	5469	5750	6091	6402	6679	2027	2323	2616	2905	3188	3461	3724	
	N _{by}	3736	5428	7101	8743	10354	12475	14502	6212	6745	7238	7874	8549	9180	9763	2881	3355	3875	4387	4888	5372	5838	
	N _c	8031	5962	3916	1909	0	0	0	10862	3183	7471	6312	5407	4531	3689	9133	8493	7858	7232	6621	6028	5460	
q _{cx}	-3561	-2644	-1737	-846	0	0	0	-4817	-4072	-3313	-2799	-2398	-2009	-1636	-4050	-3766	-3485	-3207	-2936	-2673	-2421		

Расчетный эскиз опоры КСБ 110-1

Геометрические характеристики опоры



Обозначение	Величина
a [см]	520
c [см]	1040
d [см]	900
e [см]	310
H_0 [см]	1550
H [см]	1250
h_0 [см]	300
h_1 [см]	200
h_2 [см]	300
h_3 [см]	250

Расчетные длины оттяжек

Обозначение	Величина [м]
$L_{от1}; L_{от4};$	$\sqrt{15,5^2 + 3,1^2 + 10,4^2} = 18,92$
$L_{от2}; L_{от5};$	$\sqrt{15,5^2 + (9,0-3,1)^2 + 5,2^2} = 17,38$
$L_{от3}; L_{от6};$	$\sqrt{15,5^2 + (9,0+3,1)^2 + 5,2^2} = 20,34$

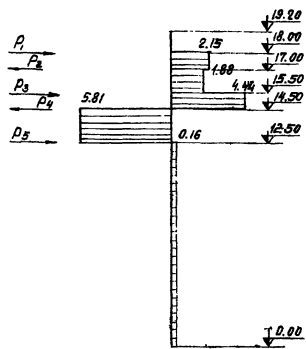
Таблица исходных данных для расчета опоры КСБ 110-1 на ЭЦВМ Урал-2
 по программе N 3002 тм - Т7
 Провод АСО-240, трос ТК-91 ГОСТ 3063-66 $v_{ветр} = 300$ м $v_{вес} = 450$ м.

Обозначение	Размерность	Числовое значение	Обозначение	Размерность	Нормальный режим I			Нормальный режим II			Аварийный режим III			Аварийный режим IV			Средне эксплуатационный режим I			Средне эксплуатационный режим II			Примечание	
					$\alpha=0^\circ$	$\alpha=30^\circ$	$\alpha=60^\circ$	$\alpha=0^\circ$	$\alpha=30^\circ$	$\alpha=60^\circ$	$\alpha=0^\circ$	$\alpha=30^\circ$	$\alpha=60^\circ$	$\alpha=0^\circ$	$\alpha=30^\circ$	$\alpha=60^\circ$	$\alpha=0^\circ$	$\alpha=30^\circ$	$\alpha=60^\circ$	$\alpha=0^\circ$	$\alpha=30^\circ$	$\alpha=60^\circ$		
α	см	520	PВ	кг	900	3960	6800	270	4460	8320	0	2640	5100	0	2940	5700	0	2410	4660	0	1300	2500		
c	—	1040	Pп	кг/м	1,11	1,07	0,96	1,44	1,39	1,25	0	0	0	0	0	0	0	0	0	0	0	0		
α	—	900	Pт	—	0,536	0,517	0,47	1,25	1,20	1,08	0	0	0	0	0	0	0	0	0	0	0	0		
e	—	310	T'a	кг	3145	3040	2890	4350	4200	3980	0	0	0	3790	3660	3250	2410	2330	2090	1340	1300	1150		
H ₀	—	1550	T'b	—	3145	3040	2890	4350	4200	3980	3790	3660	3250	3790	3660	3250	2410	2330	2090	1340	1330	1150		
H	—	1250	T'c	—	3145	3040	2890	4350	4200	3980	3790	3660	3250	3790	3660	3250	2410	2330	2090	1340	1300	1150		
H ₀	—	300	T'т	—	2360	2280	2130	3065	2960	2840	2610	2500	2240	0	0	0	2120	2050	1810	980	940	850		
h ₁	—	200	T''a	—	0	0	0	0	0	0	0	0	0	0	0	0	0	0	0	0	0	0		
L _{пр}	—	310	T''б	—	0	0	0	0	0	0	0	0	0	0	0	0	0	0	0	0	0	0		
L _в	—	0	T''c	—	0	0	0	0	0	0	0	0	0	0	0	0	0	0	0	0	0	0		
CB	м	300	T''т	—	0	0	0	0	0	0	0	0	0	0	0	0	0	0	0	0	0	0		
h ₂	см	300	MВ	кгсм	$-11,95 \times 10^4$	$4,6 \times 10^5$	$10,01 \times 10^5$	$-3,79 \times 10^4$	$7,36 \times 10^5$	$14,59 \times 10^5$	0	$6,47 \times 10^5$	$12,88 \times 10^5$	0	$2,94 \times 10^5$	$5,68 \times 10^5$	0	$4,90 \times 10^5$	$9,45 \times 10^5$	0	$2,43 \times 10^5$	$4,7 \times 10^5$		
h ₃	—	250	Mг	—	$1,91 \times 10^4$	$1,91 \times 10^4$	$1,91 \times 10^4$	$2,77 \times 10^4$	$2,77 \times 10^4$	$2,77 \times 10^4$	$2,05 \times 10^4$	$2,05 \times 10^4$	$2,05 \times 10^4$	$2,05 \times 10^4$	$2,05 \times 10^4$	$2,05 \times 10^4$	$1,91 \times 10^4$	$1,91 \times 10^4$	$1,91 \times 10^4$	$1,91 \times 10^4$	$1,91 \times 10^4$	$1,91 \times 10^4$	$1,91 \times 10^4$	
E	кг/см ²	$1,5 \times 10^6$	MВ'	—	$3,73 \times 10^4$	$3,33 \times 10^5$	$6,07 \times 10^5$	$1,25 \times 10^4$	$4,03 \times 10^5$	$7,43 \times 10^5$	0	$3,01 \times 10^5$	$6,13 \times 10^5$	0	$0,98 \times 10^5$	$1,9 \times 10^5$	0	$2,55 \times 10^5$	$4,92 \times 10^5$	0	$1,13 \times 10^5$	$2,38 \times 10^5$		
F ₁	см ²	2,82	Mг'	—	$1,91 \times 10^4$	$1,91 \times 10^4$	$1,91 \times 10^4$	$2,77 \times 10^4$	$2,77 \times 10^4$	$2,77 \times 10^4$	$2,05 \times 10^4$	$2,05 \times 10^4$	$2,05 \times 10^4$	$2,05 \times 10^4$	$2,05 \times 10^4$	$2,05 \times 10^4$	$1,91 \times 10^4$	$1,91 \times 10^4$	$1,91 \times 10^4$	$1,91 \times 10^4$	$1,91 \times 10^4$	$1,91 \times 10^4$	$1,91 \times 10^4$	
F ₂	—	2,82	G	кг	9800	9800	9800	14740	14740	14740	9800	9800	9800	9800	9800	9800	9800	9800	9800	9800	9800	9800		
F ₃	—	2,82	W	кг/см	0,25	0,25	0,25	0,08	0,08	0,08	0	0	0	0	0	0	0	0	0	0	0	0		
L _{лв}	см	310	Q	кг	0	0	0	0	0	0	0	0	0	0	0	0	0	0	0	0	0	0		
T ₀₁	кг	2000	t ₁	см	0	0	0	0	0	0	0	0	0	0	0	0	0	0	0	0	0	0		
T ₀₂	—	2500																						
B _c	кгсм ²	$3,5 \times 10^{10}$																						
K		1																						

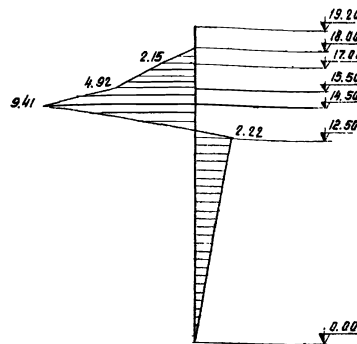
Результаты статического расчёта опоры КСБ 110-1 произведенного на ЭЦВМ „Урал-2“

Результаты расчёта		Нормальный режим I			Нормальный режим II			Аварийный режим III			Аварийный режим IV			Среднеэксплуатационный режим I			Среднеэксплуатационный режим II		
		$\alpha=0^\circ$	$\alpha=30^\circ$	$\alpha=60^\circ$	$\alpha=0^\circ$	$\alpha=30^\circ$	$\alpha=60^\circ$	$\alpha=0^\circ$	$\alpha=30^\circ$	$\alpha=60^\circ$	$\alpha=0^\circ$	$\alpha=30^\circ$	$\alpha=60^\circ$	$\alpha=0^\circ$	$\alpha=30^\circ$	$\alpha=60^\circ$	$\alpha=0^\circ$	$\alpha=30^\circ$	$\alpha=60^\circ$
Усилия в оптяжках [кг]	T_1	13235	14191	14790	17642	18943	19822	9534	9571	9726	11170	12155	122*0	9880	10804	10599	5470	5645	5622
	T_2	0	0	0	0	0	0	1727	0	0	0	0	0	0	0	0	427	0	0
	T_3	0	0	0	0	0	0	0	0	0	0	0	0	0	0	0	24	0	0
	T_4	13672	15441	16780	18267	20663	22510	14590	15096	15608	11186	12706	13253	9895	11368	11999	5482	6074	6334
	T_5	2409	6420	10053	2629	8077	12969	0	1900	5686	28	3526	6750	26,25	3335	6371	455	1757	3365
	T_6	1879	4825	7485	1733	5777	9397	1936	4661	6720	0	2940	5785	0	2260	4446	0	1251	2407
Горизонтальная реакция под стойкой R_x		-196	-233	-266	-120	-172	216	263	-128	-136	7,05	-84	-128	6,6	-58	-82	5,4	-30	-42
Перемещения стойки	ΔX	5,62	9,46	12,8	7,75	12,97	17,52	0,61	6,41	9,18	4,6	6,2	9,1	4,06	5,04	7,58	-0,6	1,45	2,77
	ΔY_1	8,02	9,91	10,49	12,73	13,92	14,75	4,09	5,74	6,74	9,48	8,08	8,88	8,39	7,02	7,11	2,87	2,89	2,92
	ΔY_2	9,62	10,95	11,94	13,24	15,05	16,44	12,29	11,08	11,22	8,71	8,89	9,43	7,70	7,61	8,02	2,79	3,39	3,56
Сдвиганий момент на уров. не поясок траверсы M_x [кгм]		49799	96486	136923	87912	163129	208028	328479	159567	169918	-8815	105673	160381	-8213	72752	102464	-6719	36903	53400
Горизонтальная реакция под стойкой R_y [кг]		793	1733	1631	2393	1310	2205	-2060	1978	1786	909	878	780	1511	1461	1298	753	726	650
Вертикальная реакция под стойкой N_z [кг]		-35421	-43476	-50380	-47820	-58782	-68144	-32577	-35253	-40745	-28139	-35550	-41135	-26022	-32496	-37381	-19558	-21920	-24429
Усилия на анкерные плиты [кг]	N_a	0	0	0	0	0	0	1540	0	0	0	0	0	0	0	0	383	0	0
	q_{ax}	0	0	0	0	0	0	-586	0	0	0	0	0	0	0	0	-146	0	0
	q_{ay}	0	0	0	0	0	0	-576	0	0	0	0	0	0	0	0	-128	0	0
	N_b	3580	9402	14669	3665	1605	18727	1475	5246	10192	25	5385	10428	23,0	4697	9069	406	2520	4835
	q_{bx}	1935	5050	7865	1923	878	9993	1152	3418	5928	9	2946	5733	991	2477	4807	154	1341	2574
	q_{by}	-1201	-3154	-4921	-1229	-893	-6283	-495	-1760	-3419	-8	-1806	-3498	-8	-1576	-3043	-136	-846	-1622
	N_c	22041	24274	25861	29416	3437	34677	19762	20207	20753	18314	20366	20907	16199	17999	18511	8968	9600	9795
	q_{cx}	-71,6	-205	-326	-102	780	-440	-828	-905	-964	-2,51	-90	-161	-234	-125	-229	-2,7	-70	-116
	q_{cy}	14789	16287	17352	19737	2764	23267	13260	13558	13924	12288	13665	14028	10669	12077	12421	6017	6441	6572

Эпюра перерезывающих сил



Эпюра моментов



$$P_1 = P_T + W \cdot 1,7 + \frac{M_2}{L_0} = 3065 \cdot 0,5 + 1,08 \cdot 300 + 8 \cdot 1,7 + \frac{277}{7,0} \approx 2150 \text{ кг}$$

$$P_2 = \frac{M_2}{L_0} - W \cdot 1,25 = 277 - 10 = 267 \text{ кг}$$

$$P_3 = P_N + W \cdot 1,25 = 4350 \cdot 0,5 + 125 \cdot 300 + 8 \cdot 1,25 = 2560 \text{ кг}$$

$$P_4 = (V_2 - V_1) \cdot \frac{3,1}{2} = (30000 - 23400) \cdot \frac{3,1}{2} = -10250 \text{ кг}$$

$$V_1 = 19,82 \cdot \frac{15,5}{18,02} + 9,40 \cdot \frac{15,5}{20,34} = 16250 + 7150 = 23400 \text{ кг}$$

$$V_2 = 22,51 \cdot \frac{15,5}{18,92} + 12,97 \cdot \frac{15,5}{17,38} = 18450 + 11550 = 30000 \text{ кг}$$

$$P_5 = 10250 + 2550 + 2550 + 22,51 \cdot \frac{3,1}{18,92} - 19,82 \cdot \frac{3,1}{18,92} - 9,40 \cdot \frac{12,1}{20,34} - 12,97 \cdot \frac{5,9}{17,38} + 8 \cdot 8,75 =$$

$$= 10250 + 2550 + 2550 + 70 + 3690 - 3260 - 5580 - 4400 = 5970 \text{ кг}$$

$$M_{\nabla 18,0} = 0$$

$$M_{\nabla 17,0} = 2,15 \times 1,0 = 2,15 \text{ мм}$$

$$M_{\nabla 15,5} = 2,15 \times 2,5 - 0,267 \times 1,5 = 4,92 \text{ мм}$$

$$M_{\nabla 14,5} = 2,15 \times 3,5 - 0,267 \times 2,5 + 2,56 \times 1,0 = 9,41 \text{ мм}$$

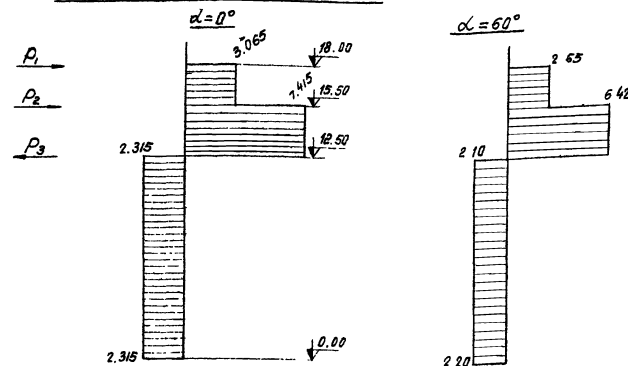
$$M_{\nabla 12,5} = 2,15 \times 5,5 - 0,267 \times 4,5 + 2,56 \times 3 - 10,25 \times 2 =$$

$$= 11,8 - 1,2 + 7,68 - 20,5 = -2,22 \text{ мм}$$

$$M_{\nabla 0} = 2,15 \times 18,0 - 0,267 \times 17 + 2,56 \times 15,5 - 10,25 \times 14,5 + 5,88 \times 12,5 =$$

$$= 38,7 - 4,5 + 39,7 - 148,5 + 73,5 \approx 0$$

Эпюра перерезывающих сил



$$\alpha = 0^\circ$$

$$P_1 = P_T = 3065 \text{ кг}$$

$$P_2 = P_N = 4350 \text{ кг}$$

$$P_3 = 2P_N = - (18,27 + 17,64) \cdot \frac{10,4}{18,92} + 2,63 \cdot \frac{5,2}{17,38} + 1,73 \cdot \frac{5,2}{20,34} =$$

$$= -8700 - 19750 + 880 + 440 = -9730 \text{ кг}$$

$$\alpha = 60^\circ$$

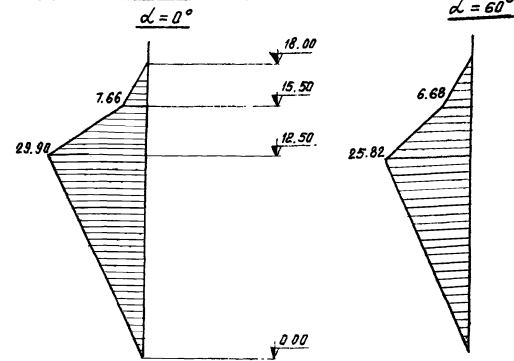
$$P_1 = 3065 \times 0,866 = 2650 \text{ кг}$$

$$P_2 = 4350 \times 0,866 = 3770 \text{ кг}$$

$$P_3 = 2 \times 4350 \times 0,866 - (19,82 + 22,51) \cdot \frac{10,4}{18,92} + 12,97 \cdot \frac{5,2}{17,38} + 9,40 \cdot \frac{5,2}{20,34} =$$

$$= 7540 - 22400 + 3880 + 2410 = -8570 \text{ кг}$$

Эпюра моментов



$$\alpha = 0^\circ$$

$$M_{\nabla 18,0} = 0$$

$$M_{\nabla 15,5} = P_1 \cdot 2,50 = 3065 \times 2,5 = 7,662 \text{ мм}$$

$$M_{\nabla 12,5} = P_1 \cdot 5,50 + P_2 \cdot 3,0 = 3,065 \cdot 5,5 + 4,35 \times 3 =$$

$$= 16,85 + 13,05 = 29,90 \text{ мм}$$

$$M_{\nabla 0,0} = P_1 \cdot 18,0 + P_2 \cdot 15,5 - P_3 \cdot 12,5 =$$

$$= 55,2 + 67,5 - 122,5 \approx 0$$

$$\alpha = 60^\circ$$

$$M_{\nabla 18,0} = 0; M_{\nabla 15,5} = 2,65 \times 2,50 = 6,68 \text{ мм}$$

$$M_{\nabla 12,5} = 2,55 \times 5,5 + 3,77 \times 3 = 14,02 + 11,3 = 25,82 \text{ мм}$$

$$M_{\nabla 0,0} = 2,65 \times 18,0 + 3,77 \times 15,5 - 8,57 \times 12,5 = 48,0 + 58,5 - 106,5 = 0$$

Вдоль траверсы, Нормальный режим II, $\alpha = 60^\circ$

Поперек траверсы; Нормальный режим II; $\alpha = 0^\circ$ и $\alpha = 60^\circ$

Расчет стойки СЦ-2

(Архивный № 3083ТМ-ТЭ-4)

Расчетные характеристики стойки:

$$D = 56 \text{ см}; \delta = 6 \text{ см}; \tau_8 = 25 \text{ см}; \tau_H = 25,6 \text{ см}; \tau_a = 25,6 \text{ см}.$$

$$F_k = 3,14 \times 6 (56 - 6) = 942 \text{ см}^2$$

Материал: Бетон марки "500"; $R_u = 290 \text{ кг/см}^2$;
 $R_{пр} = 220 \text{ кг/см}^2$; $R_T = 19,5 \text{ кг/см}^2$; $E_b = 3,8 \times 10^5 \text{ кг/см}^2$

$$R_u = \frac{250 \times 1,1}{0,95} = 290 \text{ кг/см}^2.$$

1,1 - коэффициент, учитывающий заводское изготовление

0,95 - коэффициент условия работы бетона марки "500" в железобетонных конструкциях, который для центрифугированных стоек согласно решению ученого совета НИИЖБ/а не учитывается

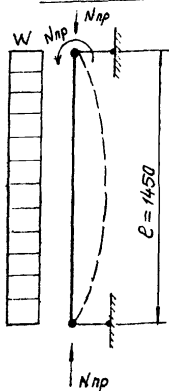
Продольная арматура класса А-IV из стали марки 20 ХГ2Ц по ГОСТ 5058-65.

$$R_H = R_a = 5100 \text{ кг/см}^2; R_{кc} = R_{ас} = 3600 \text{ кг/см}^2; E_a = 2,0 \times 10^6 \text{ кг/см}^2;$$

$$F_H = 12 \phi 12 = 12 \times 1,131 = 13,57 \text{ см}^2; F_a = 14 \phi 12 = 14 \times 1,131 = 15,85 \text{ см}^2$$

$$\eta = \frac{2,0 \times 10^6}{3,8 \times 10^5} = 5,28$$

А. Расчет на внецентренное сжатие



$$N_{пр} = N_k + \frac{M_{дл}}{\eta_{дл}};$$

$$M_{пр} = M_k + \frac{M_{дл}}{\eta_{дл}};$$

Нормальный режим II $\alpha = 60^\circ$

$$M = \sqrt{25,82^2 + 2,22^2} = 26,1 \text{ тм}.$$

$$N = 68,14 \text{ т}.$$

Среднеэксплуатационный режим II $\alpha = 60^\circ$

$$N_{дл} = 24,43 \text{ т}.$$

$$M_{дл} = 9,90 \text{ тм}.$$

$$M_k = 26,1 - 9,9 = 16,2 \text{ тм}.$$

$$N_k = 68,14 - 24,43 = 43,71 \text{ т}.$$

$$\eta_{дл} = \frac{\eta_{дл} + 2 \frac{e_{дл}}{D}}{1 + 2 \frac{e_{дл}}{D}};$$

$M_{дл} =$ по таблице 21 СН и П II - В.1-62 в зависимости от $\frac{e}{z}$ $e=1650$ см; $z = \sqrt{\frac{J_n}{F_n}}$;

$$F_n = 942 + (13,57 + 15,85)(5,28 - 1) = 942 + 126 = 1068 \text{ см}^2$$

$$J_n = \frac{3,14 \times 6}{32} (56 + 44)(56^2 + 44^2) + 0,5(5,28 - 1) 29,42 \times 25,6^2 =$$

$$= 296000 + 41000 = 337000 \text{ см}^4$$

$$z = \sqrt{\frac{337000}{1068}} = 17,8 \text{ см}^3; \frac{e}{z} = \frac{1650}{17,8} = 93,0; m_{дл} = 0,687;$$

$$e_{сдл} = \frac{M_{дл}}{N_{дл}} = \frac{9,90}{24,43} = 4,05 \text{ см};$$

$$m_{эдл} = \frac{0,687 + 2 \cdot \frac{4,05}{56}}{1 + 2 \cdot \frac{4,05}{56}} = \frac{0,687 + 0,145}{1,0 + 0,145} = 0,728;$$

$$N_{пр} = 43,71 + \frac{24,43}{0,728} = 43,71 + 33,59 = 77,3 \text{ т}$$

$$M_{пр} = 16,20 + \frac{9,90}{0,728} = 16,20 + 13,60 = 29,8 \text{ тм.}$$

$$B_c = J_{пр} \cdot E_B = 337000 \times 380000 = 12,80 \times 10^{10} \text{ кгсм}^2 \text{ до открытия трещин}$$

После раскрытия трещин $B_c = \frac{E_a}{\psi} \phi F_a \cdot z_a^2$

$$B_c = \frac{2 \cdot 10^6}{0,85} \cdot 1,79 \times 29,42 \times 25,6^2 = 3,58 \times 10^{10} \text{ кгсм}^2$$

Момент от прогиба стойки:

$$M_o = N_{прив} (\phi_o + \phi_w) \frac{1}{1 - \frac{N_{прив}}{N_{экр}}};$$

$$\phi_o = 0,25 \times 16,5 = 4,1 \text{ см} - \text{производственный прогиб.}$$

Согласно главы СН и П III - У.6-62.

$$\phi_w = \frac{M_{дл} \cdot e^2}{16 E J_{пр}} = \frac{990000 \times 16,50^2}{16 \times 3,58 \times 10^{10}} = 4,7 \text{ см};$$

$$N_{э} = \frac{J^2 B}{e^2} = \frac{J^2 \times 3,58 \times 10^{10}}{1650^2} = 130000 \text{ кг.}$$

$$M_o = 77300 (4,1 + 4,7) \frac{1}{1 - \frac{77300}{130000}} = 16,8 \text{ тм.}$$

Действующие изгибающие моменты в сечениях стойки на высоте равны:

$$M_{прав}^p = M_{прив} \frac{J \sin \alpha x}{J \sin \alpha e} + M_o J \sin \frac{J}{e} x + W \frac{e x - x^2}{2};$$

при этом $\alpha = \sqrt{\frac{N_{прив}}{E J_{пр}}} = \sqrt{\frac{77300}{3,58 \times 10^{10}}} = 0,000464$

$$\nabla 4,0 \text{ м} \quad X = 400 \text{ см.}$$

$$M_{прив}^p = 28,90 \frac{\sin(400 \times 0,000464)}{\sin(1650 \times 0,000464)} + 16,80 \sin \frac{\sqrt{400}}{1650} + 0,5 \times 0,08(1650 \times 400 - 400^2) =$$
$$= 28,90 \frac{0,182}{0,695} + 16,80 \times 0,688 + 0,17 = 7,58 + 11,55 + 0,17 = 19,30 \text{ тм.}$$

$$\nabla 8,0 \text{ м} \quad X = 800 \text{ см.}$$

$$M_{прив}^p = 28,90 \frac{\sin(800 \times 0,000464)}{\sin(1650 \times 0,000464)} + 16,80 \sin \frac{\sqrt{800}}{1650} + 0,5 \times 0,08(1650 \times 800 - 800^2) =$$
$$= 28,90 \frac{0,365}{0,695} + 16,8 \times 0,999 + 0,21 = 15,2 + 16,75 + 0,21 = 32,16 \text{ тм.}$$

$$\nabla 12,0 \text{ м} \quad X = 1200 \text{ см.}$$

$$M_{прив}^p = 28,90 \frac{\sin(1200 \times 0,000464)}{\sin(1650 \times 0,000464)} + 16,80 \sin \frac{\sqrt{1200}}{1650} + 0,5 \times 0,08(1650 \times 1200 - 1200^2) =$$
$$= 28,90 \frac{0,530}{0,695} + 16,8 - 0,643 + 0,12 = 22,0 + 10,88 + 0,12 = 33,00 \text{ тм.}$$

$$\nabla 15,0 \text{ м}$$

$$M_{прив}^p = 28,90 \frac{\sin(1500 \times 0,000464)}{\sin(1650 \times 0,000464)} + 16,8 \sin \frac{\sqrt{1500}}{1650} + 0,5 \times 0,08(1650 \times 1500 - 1500^2) =$$
$$= 28,9 \frac{0,643}{0,695} + 16,8 \times 0,375 + 0,09 = 26,7 + 6,3 + 0,09 = 33,09 \text{ тм.}$$

$$\nabla 16,5 \text{ м.} \quad M_{пр} = 28,9 \text{ тм.}$$

Расчетным является сечение на отметке 14,5 м.
на уровне поясов нижней траверсы:

$$M_{прив} = 33,09 \text{ тм.} \quad N_{прив} = 77,30 \text{ т.}$$

$$F_k = 942 \text{ см}^2; \quad F_b = 913 \text{ см}^2; \quad F_n = 1068 \text{ см}^2$$

$$\sigma_{ок} = 0,9 \times 6000 = 5400 \text{ кг/см}^2;$$

Потери предварительного напряжения в арматуре:

1. От усадки бетона $\sigma_{ус} = 400 \text{ кг/см}^2;$

2. От релаксации напряжений

$$\sigma_{рл} = 0,4 \left(0,27 \frac{5400}{6000} - 0,1 \right) 5400 = 310 \text{ кг/см}^2;$$

3. От ползучести бетона

$$\sigma_{с} = \frac{13,57(5400 - 310)}{1068} = 65 \text{ кг/см}^2;$$

$$\sigma_{пл} = \frac{2 \times 10^6 \times 500 \times 65 \times 0,8}{3,8 \times 10^5 \times 375} = 365 \text{ кг/см}^2$$

$$\Sigma \sigma_n = 400 + 310 + 365 = 1075 \text{ кг/см}^2$$

$$\sigma_0 = 5400 - 1075 = 4325 \text{ кг/см}^2;$$

$$\sigma_e' = 3600 - 1,1 \times 4325 = -1150 \text{ кг/см}^2$$

$$\alpha_k = \frac{R_H F_H + R_a F_a + N_{прив}}{(R_H + \sigma_e') F_H + (R_a + R_{acc}) F_a + R_u F_B} =$$

$$= \frac{5100(13,57 + 15,85) + 77300}{(5100 - 1150)13,57 + (5100 + 3600)15,85 + 290 \times 913} = \frac{227300}{457000} = 0,498$$

так как $\alpha_k = 0,498 < 0,50$

$$M = \frac{1}{J} [R_u F_B z + (R_H + \sigma_e') F_H z_H + (R_a + R_{acc}) F_a z_a] \sin \pi \alpha_k =$$

$$= 0,318 [290 \times 913 \times 25 + (5100 - 1150)13,57 \times 256 + (5100 + 3600)15,85 \times 25,6] =$$

$$= 0,318 (6600000 + 1370000 + 3520000) = 3570000 \text{ кгсм} = 35,7 \text{ тм}$$

$N \cdot e = 33,03 \text{ тм} < M = 35,7 \text{ тм}.$

Б Расчет на изгиб.

$$M_p = \frac{1}{J} [R_u F_B z + (R_a + R_{acc}) F_a z_a + (R_H + \sigma_e') F_H z_H] \sin \pi \alpha_k$$

$$\alpha_k = \frac{R_H F_H + R_a F_a}{(R_H + \sigma_e') F_H + (R_a + R_{acc}) F_a + R_u F_B} =$$

$$= \frac{5100(13,57 + 15,85)}{(5100 - 1150)13,57 + (5100 + 3600)15,85 + 290 \times 913} = \frac{150000}{457000} = 0,328;$$

$$\pi \alpha_k = 59^\circ \quad \sin \pi \alpha_k = 0,857.$$

$$M_p = \frac{0,857}{3,14} [290 \times 913 \times 25 + (5100 + 3600)15,85 \times 25,6 + (5100 - 1150)13,57 \times 25,6]$$

$$= 0,273 (6600000 + 1370000 + 3520000) =$$

$$= 3140000 \text{ кгсм} = 31,4 \text{ тм}.$$

Действующий изгибающий момент

$$M_d = 29,9 \text{ тм} \text{ (см. эпюру моментов при } \alpha = 0^\circ \text{ вдоль ВЛ).}$$

$$M_d = 29,9 \text{ тм} < M = 31,4 \text{ тм}$$

В. Расчет по трещиностойкости.

$$M_{тр} = \left[\frac{A_1}{2} \varphi_1(\psi) + 2A_2 \varphi_2(\psi) \right] \cdot \delta \cdot z^2 \cdot R_{тп}$$

при этом ψ определяется из уравнения:

$$A_1 \varphi_3(\psi) - A_2 \varphi_4(\psi) - \frac{\pi N_0}{F_{п} R_T} = 0$$

$$R_T = 19,5 \text{ кг/см}^2; \quad A_1 = c(1 + \mu \pi); \quad A_2 = 1 + \mu \pi r'$$

$$c = 2,0; \quad \mu = \frac{13,57 + 15,85}{913} = 0,032; \quad \pi = 5,28; \quad \pi r' = 10,56;$$

$$A_1 = 2(1 + 0,032 \cdot 5,28) = 2,34 \quad A_2 = 1 + 0,032 \times 10,56 = 1,34;$$

$$\sigma_{ок} = 0,9 \times 0,9 \times 6000 = 4860 \text{ кг/см}^2,$$

Потери предварительного напряжения:

1. От усадки бетона $\sigma_{ус} = 400 \text{ кг/см}^2$;

2. От релаксации напряжений

$$\sigma_{рл} = 0,4 \left(0,27 \frac{4860}{6000} - 0,1 \right) 4860 = 230 \text{ кг/см}^2.$$

3. От ползучести бетона

$$\sigma_{б} = \frac{13,57 \cdot (4860 - 230)}{1068} = 58,5 \text{ кг/см}^2;$$

$$\sigma_{пл} = \frac{0,8 \times 2 \cdot 10^6 \times 500 \times 58,5}{3,8 \times 10^5 \times 375} = 330 \text{ кг/см}^2$$

$$\Sigma \sigma_{п} = 400 + 230 + 330 = 960 \text{ кг/см}^2$$

$$\sigma_0 = 4860 - 960 = 3900 \text{ кг/см}^2;$$

$$N_0 = 3900 \times 13,57 - (400 + 330) 15,85 = 53000 - 11500 = 41500 \text{ кг}$$

$$\frac{\pi N_0}{F_{п} R_T} = \frac{3,14 \times 41500}{1068 \times 19,5} = 6,25$$

$$2,34 \varphi_3(\psi) - 1,34 \varphi_4(\psi) - 6,25 = 0 \quad \psi = 117^\circ$$

$$2,34 \times 3,30 - 1,34 \times 1,1 - 6,25 = 0$$

$$\varphi_1(\psi) = 8,962; \quad \varphi_2(\psi) = 0,891$$

$$M_{тр} = \left[\frac{2,34}{2} \cdot 8,962 + 2 \times 0,891 \times 1,34 \right] \times 6 \times 25^2 \times 19,5 = 9,4 \text{ тм.}$$

Г. Расчет на поперечную силу.

Площадь поперечного сечения однозаходной спирали, отнесенная на один метр длины элемента от действия поперечной силы определяется по формуле:

$$F_{c,a} = \frac{Q^2 \cdot 100}{4Q'_\delta R_{ax}} ;$$

$$Q = 7415 \text{ кг}; R_{ax} = 1700 \text{ кг/см}^2; R_a = 290 \text{ кг/см}^2; \delta = 6 \text{ см}; z_a = 25,6 \text{ см}$$

$$Q'_\delta = 0,3 \cdot \delta \cdot (y_a + z)^2 \cdot R_u$$

$$y_a = \frac{\frac{1}{2}(\pi - \theta) - \frac{1}{4} \sin 2\theta}{\sin \theta + (\pi - \theta) \cos \theta} \cdot z_a ; \quad z_a = 25,6 \text{ см.}$$

$$\operatorname{tg} \theta - \theta = \pi \mu n' = 3,14 \times 0,20 = 0,628; \quad \theta = 59^\circ$$

$$\mu n' = \frac{F_a \cdot E_a + F_H \cdot E_H}{0,85 E \delta F} = \frac{2 \times 10^6 (13,57 + 15,85)}{0,85 \times 3,8 \times 10^5 \times 913} = 0,20$$

$$y_a = \frac{0,5(3,14 - 1,03) - 0,25 \times 0,951}{0,857 + (3,14 - 1,03) 0,515} \times 25,6 =$$

$$= \frac{(1,055 - 0,237) 25,6}{0,857 + 1,083} = \frac{20,9}{1,94} = 10,75 \text{ см};$$

$$Q'_\delta = 0,3 \times 6 \times (10,75 + 25,6)^2 \times 290 = 662000 \text{ кгсм}$$

$$F_{c,a} = \frac{7415 \times 7415 \times 100}{4 \times 662000 \times 1700} = \frac{5,5 \cdot 10^9}{4,5 \cdot 10^9} = 1,22 \text{ см}^2$$

$$F_c = f_x \cdot \pi \quad \text{Спираль } \phi 4 \text{ мм} \quad f_x = 0,1256 \text{ см}^2;$$

$$n = \frac{1,22}{0,1256} \cong 10 \text{ шт.} \quad \text{Шаг спирали } 100 \text{ мм.}$$

Расчет металлических элементов

Расчет нижней траверсы.

Расчетная схема.

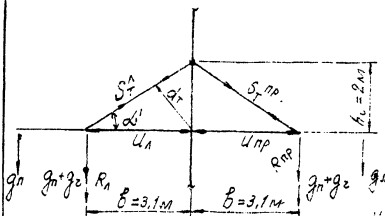
Расчетные данные:

$$\operatorname{tg} \alpha' = \frac{2,0}{3,1} = 0,646$$

$$\alpha' = 32^{\circ} 54'$$

$$\sin \alpha' = 0,543$$

$$d_m = m \sin \alpha' = 3,1 \cdot 0,543 = 1,68 \text{ м};$$



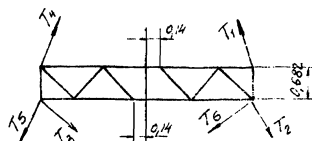
Нормальный режим II
Угол поворота в л $\alpha = 60^{\circ}$

$$T_1 = 19,82 \text{ т}; T_2 = T_3 = 0.$$

$$T_4 = 22,51 \text{ т}; T_5 = 12,97 \text{ т}.$$

$$T_6 = 9,40 \text{ т};$$

$$q_n = 1,71 \text{ т}; q_z = 0,20 \text{ т}$$



1. Расчет тяг траверсы.

$$R_A = T_4 \frac{15,50}{18,92} + T_3 \frac{15,50}{20,34} + T_5 \frac{15,50}{17,38} = 22,51 \frac{15,50}{18,92} + 0 + 12,97 \frac{15,50}{17,38} = 18,4 + 11,55 = 29,95 \text{ т}.$$

$$R_{np} = T_1 \frac{15,50}{18,92} + T_6 \frac{15,50}{20,34} + T_2 \frac{15,50}{17,38} = 19,82 \frac{15,50}{18,92} + 9,40 \frac{15,50}{20,34} + 0 = 16,2 + 7,17 \text{ т} = 23,37 \text{ т}.$$

$$S_T^A = \frac{R_A \cdot b + (q_n + q_z) b}{2 d_T \cdot m_k} = \frac{(29,95 + 1,71 + 0,20) 3,10}{2 \times 1,68 \times 0,9} = 32,60 \text{ т}.$$

$$S_T^{np} = \frac{(R_{np} + q_n + q_z) b}{2 d_T \cdot m_k} = \frac{(23,37 + 1,71 + 0,20) 3,1}{2 \times 1,68 \times 0,9} = 26,0 \text{ т}.$$

$m_k = 0,9$ - коэффициент условий работы узла.

№ 3083 м-Т 5 Лч. 25

Тяги траверсы принимаем из $\angle 125 \times 8$.

$$F_{\text{бр}} = 19,7 \text{ см}^2; \quad F_{\text{нт}} = 19,7 - 2,5 = 17,2 \text{ см} \quad \text{при болтах } \phi 30 \text{ мм}$$

$$\sigma = \frac{S_T^A}{F_{\text{нт}}} = \frac{32600}{17,2} = 1890 \text{ кг/см}^2 < 2100 \text{ кг/см}^2;$$

Болты крепежные в узле - 4 $\phi 30$ мм.

$$N_{\text{ср}} = 8,16 \times 4 = 32,64 \text{ т} > 32,6 \text{ т.}$$

$$N_{\text{см}} = 9,18 \times 4 = 36,72 \text{ т} > 32,6 \text{ т}$$

Площадь фасонки тяги:

$$F = \frac{S_T^A}{R} = \frac{32600}{2100} = 15,6 \text{ см}^2$$

При толщине фасонки $\delta = 16$ мм и ширине 170 мм с учетом сквозного болта $\phi 56$ мм.

$$F_{\text{нт}} = (17,0 - 5,7) \times 1,6 = 18 \text{ см}^2 > 15,6 \text{ см}^2;$$

Сквозной болт узла „стойка-тяга“

принят $\phi 56$ мм по S_T^A

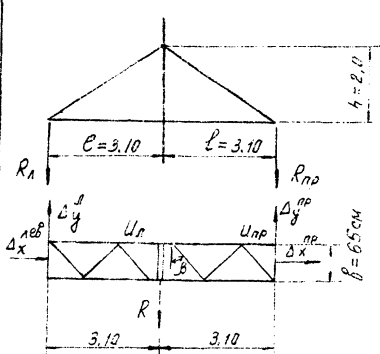
$$N_{\Sigma} = S_T^{\text{пр}'} + S_T^{\text{н}'} = 14,4 + 18,1 = 32,5 \text{ т} < S_T^A = 32,6 \text{ т.}$$

N_{Σ} - геометрическая равнодействующая.

$$\sigma_{\text{ср}} = \frac{32600}{24,63} = 1320 \text{ кг/см}^2 < 1500 \text{ кг/см}^2 \quad \text{на равновесии}$$

$$\sigma_{\text{см}} = \frac{32600}{5,6 \times 1,6} = 3640 \text{ кг/см}^2 < 3800 \text{ кг/см}^2;$$

2. Расчет поясов траверсы.



$$R_{л} = 29,55 + 1,71 + 0,20 = 31,46 \text{ т}$$

$$R_{пр} = 25,37 + 1,71 + 0,20 = 27,28 \text{ т}$$

$$\Delta y^{лев} = T_4 \frac{10,4}{18,92} - T_5 \frac{5,2}{17,38} - R_{пр} \frac{10,4}{18,92} = 22,51 \frac{10,4}{18,92} - 12,97 \frac{5,2}{17,38} - 3,98 = 4,49 \text{ т}$$

$$\Delta y^{пр} = T_1 \frac{10,4}{18,92} - T_6 \frac{5,2}{20,34} - R_{лев} \frac{10,4}{18,92} = 19,82 \frac{10,4}{18,92} - 9,40 \frac{5,2}{20,34} - 3,98 = 4,51 \text{ т}$$

$$\Delta x^{лев} = T_4 \frac{3,1}{18,92} + R_{пр} \frac{3,1}{18,92} - T_5 \frac{5,9}{17,38} = 22,51 \frac{3,1}{18,92} + 2,18 - 12,97 \frac{5,9}{17,38} = 1,46 \text{ т}$$

$$\Delta x^{пр} = -T_1 \frac{3,1}{18,92} + R_{лев} \frac{3,1}{18,92} - T_6 \frac{12,1}{20,34} = -19,82 \frac{3,1}{18,92} + 2,18 - 9,40 \frac{12,1}{20,34} = 3,25 + 2,18 - 5,6 = 6,61 \text{ т}$$

Усилия в поясах траверсы.

$$\begin{aligned} U_{лев} &= \frac{R_{л} \cdot l}{2 n_o \cdot \text{тк}} + \frac{\Delta y^{лев} \cdot l}{b} + \frac{\Delta x^{лев}}{2} = \\ &= \frac{31,46 \times 3,1}{2 \times 2 \cdot 0,9} + \frac{4,49 \times 3,1}{0,65} + \frac{1,46}{2} = 27,4 + 21,4 + 0,73 = 49,53 \text{ т} \end{aligned}$$

$$\begin{aligned} U_{пр} &= \frac{R_{пр} \cdot l}{2 n_o \cdot \text{тк}} + \frac{\Delta y^{пр} \cdot l}{b} - \frac{\Delta x^{пр}}{2} = \frac{25,28 \times 3,1}{2 \times 2 \cdot 0,9} + \frac{4,51 \times 3,1}{0,65} + \frac{6,67}{2} = \\ &= 21,85 + 21,50 + 3,34 = 46,69 \text{ т} \end{aligned}$$

Принимаем $L 160 \times 10$ $F = 31,4 \text{ см}^2$; $Z_x = 4,96 \text{ см}$;

$$e_n = 310 \text{ см}; \lambda = \frac{310}{4,96} = 62,5; \varphi = 0,85$$

$$\sigma = \frac{49530}{31,4} = 1575 \text{ кг/см}^2 < 2100 \text{ кг/см}^2 \quad \text{КСОБЗГН-Т5} \quad \text{Лист 27}$$

3. Расчет раскосов.

Нормальный режим II; $\alpha = 60^\circ$
Реакция в узле «стойка-пояс»

$$R = \frac{T_m(H+h_2+h_3)}{H} + \frac{T_n(H+h_2)}{H} = \\ = \frac{3,065(12,5+3+2,5)}{12,5} + \frac{4,35(12,5+3)}{12,5} = 4,40 + 5,40 = 9,8 \text{ т.}$$

$$D = \frac{Q}{\cos \beta \cdot \pi} \quad Q = \frac{R}{2};$$

Усилие в раскосе $D = \frac{R}{2 \cos \beta} = \frac{9,8}{2 \cdot 0,616 \cdot 0,8} = 7,95 \text{ т}$

Раскосы из $\angle 90 \times 7$

$F = 12,3 \text{ см}^2$; $z_{\text{min}} = 1,78 \text{ см}$; $e_{\text{пан}} = 110 \text{ см}$;

$\lambda = \frac{110}{1,78} = 62$; $\psi = 0,85$

$$\sigma = \frac{D}{\psi \cdot F} = \frac{7950}{0,85 \times 12,3} = 760 \text{ кг/см}^2 < 2100 \text{ кг/см}^2$$

Проверка болта «пояс-раскос»

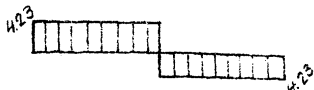
Болт $\phi 30 \text{ мм}$ $F = 7,06 \text{ см}^3$

$$\tau_{\text{ср}} = \frac{7950}{7,06} = 1125 \text{ кг/см}^2 < 1500 \text{ кг/см}^2$$

$$\sigma_{\text{см}} = \frac{7950}{3,0 \times 0,7} = 3780 \text{ кг/см}^2 < 3800 \text{ кг/см}^2$$

Аварийный режим III

$$\alpha = 0^\circ$$



$$\Delta y_{лев} = T_4 \frac{10,4}{18,92} - P_{проб} =$$

$$= 14,59 \frac{10,4}{18,92} - 3,79 = 8,02 - 3,79 = 4,23 \text{ т.}$$

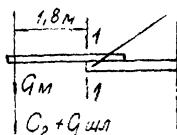
$$R = \frac{2,61 \cdot 18}{12,5} + \frac{3,79 \cdot 15,5}{12,5} = 3,76 + 4,70 = 8,46 \text{ т.}$$

$$\Delta y_{пр} = T_1 \frac{10,4}{18,92} - T \frac{5,2}{17,38} - T_5 \frac{5,2}{20,34} = 9,53 \frac{10,4}{18,92} - 1,73 \frac{5,2}{17,38} - 1,94 \frac{5,2}{20,34} =$$

$$= 5,25 - 0,52 - 0,50 = 4,23 \text{ т.}$$

$$Q = 4,23 \text{ т} < Q_{норм. реж.} = 4,90 \text{ т.}$$

4. Расчет консолей для обводного шлейфа.



$$G_M = 1,3 \times 200 = 260 \text{ кг}$$

$$C_2 = 1,1 \times 40 \approx 45 \text{ кг}$$

$$G_{шл} = 5,28 \times 8 \approx 45 \text{ кг}$$

$$M_{1-1} = (G_M + G_2 + G_{шл}) \times 1,8 = 350 \times 1,8 = 630 \text{ кгм.}$$

Консоля из $\angle 125 \times 8$

$$W = \frac{J_x}{\xi - z_0} = \frac{294}{12,5 - 3,36} = 32,1 \text{ см}^3$$

$$\sigma = \frac{M_{1-1}}{W} = \frac{63000}{32,1} = 1960 \text{ кг/см}^2 < 2100 \text{ кг/см}^2$$

5. Расчет оттяжек

$$T_4 = 22,51 \text{ т} \quad T_5 = 12,97 \text{ т.}$$

Для оттяжек 1 и 4 принимаем двойной канат $\phi 18,5 \text{ мм}$ (18,5-Г-В-СС-Р-140 по ГОСТ 3064-66г).

Разрывное усилие каната в целом $T_p = 2 \times 23,45 = 46,9 \text{ т.}$

$N = T_p \cdot k \cdot m \cdot m_k > T_4$; по условию прочности $k = 0,8$ — коэффициент однородности.

$m = 0,8$ — коэффициент условий работы материала в конструкции.

$m_k = 0,8$ — коэффициент условий работы оттяжки в анкерно-целовых опорах.

$$N = 46,9 \times 0,8 \times 0,8 \times 0,8 = 23,5 \text{ т} > 22,51 \text{ т} = T_4.$$

Для оттяжек 2, 3, 5, 6 принимаем двойной канат $\phi 15,5 \text{ мм}$ (15,5-Г-В-СС-Р-140 по ГОСТ 3064-66г)

$$T_p = 2 \times 16,7 = 33,4 \text{ т.}$$

$$N = 33,4 \times 0,8 \times 0,8 \times 0,8 = 17,05 \text{ т} > 12,97 \text{ т} = T_5.$$

Болт «планки-оттяжка» принят $\phi 36 \text{ мм}$.

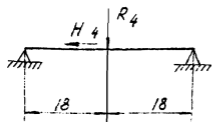
$$F = 10,18 \text{ см}^2; \quad \tau_{\text{ср}} = \frac{22510}{2 \times 10,18} = 1105 \text{ кг/см} < 1500 \text{ кг/см}^2;$$

Смятие при толщине планки $\delta = 10 \text{ мм}$.

$$\sigma_{\text{см}} = \frac{22510}{2 \times 1 \times 3,6} = 3130 \text{ кг/см}^2 < 3800 \text{ кг/см}^2$$

6. Проверка детали крепления оттяжек

Расчетная схема



$$R_4 = T_4 \frac{18,67}{18,92} = 22,51 \frac{18,67}{18,92} = 22,2 \text{ т.}$$

$$H = T_4 \frac{3,1}{18,92} = 22,51 \frac{3,1}{18,92} = 3,69 \text{ т.}$$

Проверка детали на срез:

$$\tau_{\text{ср}} = \frac{22510}{2 \times 12,55} = 900 \text{ кг/см}^2 < 1500 \text{ кг/см}^2$$

Проверка на смятие $L 160 \times 10$.

$$\sigma_{\text{см}} = \frac{22510}{2 \times 4 \times 1} = 2820 \text{ кг/см}^2 < 3800 \text{ кг/см}^2$$

Проверка детали на изгиб.

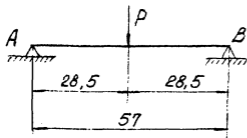
Сечение 18×4 см. $M_{\text{max}} = 22,51 \frac{0,18}{2} = 203000 \text{ кгсм.}$

$$F = 72 \text{ см}^2; \quad W = \frac{bh^2}{6} = \frac{4 \times 18^2}{6} = 216 \text{ см}^3$$

$$\sigma = \frac{M_{\text{max}}}{W} + \frac{Hs}{F} = \frac{203000}{216} + \frac{3690}{72} = 940 + 51 = 991 \text{ кг/см}^2$$

Проверка опорных уголков ($L 160 \times 10$)

Расчетная схема.



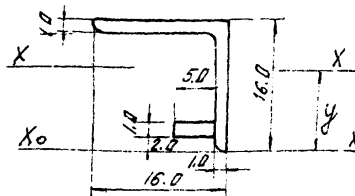
$$P = T_4 \frac{15,50}{18,92} + T_5 \frac{15,50}{17,38} =$$

$$= 22,51 \frac{15,50}{18,92} + 12,97 \frac{15,50}{17,38} =$$

$$= 18,45 + 11,55 = 30,0 \text{ т.}$$

$$M = \frac{P \cdot l}{4} = \frac{30 \times 57}{4} = 428 \text{ тсм} = 428000 \text{ кгсм.}$$

Сечение балки



$$S_{X_0-X_0} = 16,0 \times 1,0 \times 15,5 + 1,0 \times 15 \times 7,5 + 1,0 \times 16 \times 2,5 = 248 + 112,5 + 12,5 = 373 \text{ см}^3$$

$$F = 16 \times 1 + 15 \times 1 + 5 \times 1 = 36 \text{ см}^2;$$

$$y = \frac{S_{X_0-X_0}}{F} = \frac{373}{36} = 10,4 \text{ см.}$$

$$J_{X-X} = \frac{16 \times 1^3}{12} + 16 \times 1 \times 5,1^2 + \frac{1 \times 15^3}{12} + 1 \times 15 \times 2,9^2 + \frac{5 \times 1^3}{12} + 5 \times 1 \times 7,9^2 = 1,3 + 416 + 281 + 126 + 0,4 + 312 = 1137 \text{ см}^4$$

$$W_{X-X} = \frac{J_{X-X}}{y} = \frac{1137}{10,4} = 109 \text{ см}^3;$$

$$\sigma = \frac{M}{2W_{X-X}} = \frac{428000}{2 \times 109} = 1965 \text{ кг/см}^2 < 2100 \text{ кг/см}^2$$

с учётом горизонтального воздействия вертикала нах
напряжений в узле не превышающей 2100 кг/см²

7. Проверка фасонки узла «Пояс-тяга»

$\delta = 1 \text{ см}$; Болты диаметром $\Phi 30 \text{ мм}$ - 4 шт.

Усиле в тяге 32,6 т.

$$\sigma_{см} = \frac{32600}{3 \times 1 \times 4} = 2710 \text{ кг/см}^2 < 3400 \text{ кг/см}^2;$$

При смятчи, усилиями в оттяжках:

$$N = \frac{P}{2} = \frac{30}{2} = 15 \text{ т} \quad \text{болты } \Phi 30 \text{ мм} - 2 \text{ шт.}$$

$$\sigma_{см} = \frac{15000}{3 \times 1 \times 2} = 2500 \text{ кг/см}^2 < 3400 \text{ кг/см}^2$$

Расчет габаритов приближения
к телу опоры

А. Анкерно-угловая опора УБ 110-1

Провод АС-95, IV р.г Пролет 160 м по
работе 1950 тм-т8; $t = +15^\circ\text{C}$; $C=0$; $q = 6,25 \text{ кг/м}^2$

$$\sigma = 1,85 \text{ кг/мм}^2, \quad \varphi = 6,22 \text{ м.}$$

1. Определяем провисание конца натяжной
гирлянды.

$\lambda_{\text{гирл}} = 1,68 \text{ м}$; $G_{\text{гирл}} \approx 53 \text{ кг}$ (см. 1571 тм-т3)

$$\varphi_r = \frac{\lambda_r (e - \lambda_2)}{2\sigma_r \cdot e} \left[\frac{G_{\text{гирл}}}{\omega} + (e_r - \lambda_r) \cdot \rho \cdot 10^{-3} \right];$$

$$\rho = 3,59 \times 10^{-3} \text{ кг/мм}^2; \quad \omega = 111,3 \text{ мм}^2;$$

$$\varphi_r = \frac{1,68(160 - 1,68)}{2 \times 1,85 \times 160} \left[\frac{53}{111,3} + (160 - 1,68) \times 3,59 \times 10^{-3} \right] =$$
$$= 0,45(0,476 + 0,568) = 0,47 \text{ м};$$

С учетом болтового зажима $\varphi_r \approx 0,57 \text{ м}$;

2. Длина гирлянды (натяжной) с учетом провисания $\lambda'_r = 1,65 \text{ м}$;

3. Отклонение середины пролета; $\text{tg} \alpha = \frac{\rho}{g}$;
 $a = 2\varphi \cdot \text{sin} \alpha = 2 \times 6,22 \times 0,252 = 3,14 \text{ м}$;

$\rho = 0,101 \text{ кг/м}$ - ветер на провод без гололеда

$g = 0,386 \text{ кг/м}$ - вес провода АС-95.

$$\text{tg} \alpha = \frac{0,101}{0,386} = 0,261; \quad \alpha = 14^\circ 36'; \quad \text{sin} \alpha = 0,252;$$

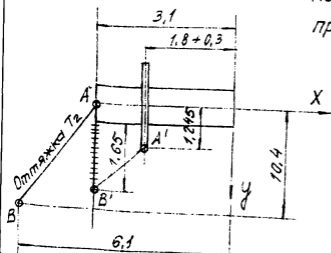
4. Отклонение конца гирлянды: $\frac{\lambda_r}{e} = \frac{x}{a}$;

$$x = \frac{\lambda'_r \cdot a}{\frac{e}{2}} = \frac{1,65 \times 3,14}{80} \approx 0,07 \text{ м}$$

5. Отклонение подвесной гирлянды принимаем 30 см.

Левый габарит.

Координаты точек двух прямых при $\alpha = 0^\circ$



$$A(x_1 = -3,1; y_1 = 0; z_1 = 0)$$

$$B(x_2 = -6,1; y_2 = 10,4; z_2 = -15,5)$$

$$A_1(x'_1 = -(1,8 + 0,3); y'_1 = 1,245; z'_1 = -1,43)$$

$$B_1(x'_2 = -(3,1 + 0,07); y'_2 = 1,65 + 0,49 = 2,14; z'_2 = -0,57)$$

$$\delta = \begin{vmatrix} x_1 - x'_1 & y_1 - y'_1 & z_1 - z'_1 \\ x_2 - x_1 & y_2 - y_1 & z_2 - z_1 \\ x'_2 - x'_1 & y'_2 - y'_1 & z'_2 - z'_1 \end{vmatrix}$$

$$\sqrt{\begin{vmatrix} x_2 - x_1 & y_2 - y_1 \\ x'_2 - x'_1 & y'_2 - y'_1 \end{vmatrix}}^2 + \begin{vmatrix} y_2 - y_1 & z_2 - z_1 \\ y'_2 - y'_1 & z'_2 - z'_1 \end{vmatrix}}^2 + \begin{vmatrix} z_2 - z_1 & x_2 - x_1 \\ z'_2 - z'_1 & x'_2 - x'_1 \end{vmatrix}}^2$$

δ - наименьшее расстояние между шлейфом и оттяжками 2 и 3.

$$x_1 - x'_1 = -1,0; \quad y_1 - y'_1 = -1,245; \quad z_1 - z'_1 = 1,43;$$

$$x_2 - x_1 = -3,0; \quad y_2 - y_1 = 10,4; \quad z_2 - z_1 = -15,5;$$

$$x'_2 - x'_1 = -1,07; \quad y'_2 - y'_1 = 0,895; \quad z'_2 - z'_1 = 0,86;$$

~~$$-1,0 \quad -1,245 \quad 1,43 \quad -3,0 \quad -1,245$$~~

~~$$-3,0 \quad +10,4 \quad -15,5 \quad -3,0 \quad +10,4$$~~

~~$$-1,07 \quad +0,895 \quad +0,86 \quad -1,07 \quad +0,895$$~~

$$D = -8,95 - 20,65 - 3,85 + 15,90 - 13,85 - 3,20 = -34,6$$

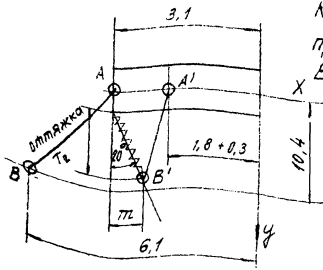
$$\begin{aligned} & \sqrt{[-3,0 \times 0,895 + 10,4 \times 1,07]^2 + [10,4 \times 0,86 + 15,5 \times 0,895]^2 + [15,5 \times 1,07 + 3,0 \times 0,86]^2} = \\ & = 8,45^2 + 22,85^2 + 19,2^2 = 72 + 522 + 368 = 962 \end{aligned}$$

$$|D| = \sqrt{962} = 31,1 \quad \delta = \frac{|D|}{|D'|} = \frac{34,6}{31,1} = 1,11 \text{ м} > [1,0 \text{ м}]$$

см. табл. II-5-12 ПУЭ 65 для изоляторов

серии .. ПМ "

Координаты точек двух
прямых при угле поворота
ВЛ $\alpha = 40^\circ$ с одной подвесной
girляндой



$$A = (x_1 = -3,1; y_1 = 0; z_1 = 0;)$$

$$B = (x_2 = -6,1; y_2 = 10,4; z_2 = -15,5;)$$

$$A' = (x'_1 = -(1,8 + 0,3); y'_1 = 0;$$

$$z'_1 = 1,43$$

$$B' = (x'_2 = -(3,1 - 0,5 + 0,07); y'_2 = 1,55 + 0,49 = 2,04$$

$$z'_2 = -0,57)$$

$$\pi = \lambda_r' \sin 20^\circ - X = 1,65 \times 0,342 - 0,07 = 0,57 - 0,07 = 0,5 \text{ м.}$$

$$\pi = \lambda_r' \cos 20^\circ = 1,65 \times 0,94 = 1,55 \text{ м.}$$

$$x_1 - x'_1 = -1,0; \quad y_1 - y'_1 = 0; \quad z_1 - z'_1 = 1,43;$$

$$x_2 - x_1 = -3,0; \quad y_2 - y_1 = 10,4; \quad z_2 - z_1 = -15,5;$$

$$x'_2 - x'_1 = -0,57; \quad y'_2 - y'_1 = 2,04; \quad z'_2 - z'_1 = 0,86;$$

$$\begin{array}{ccccc} -1,0 & 0 & 1,43 & -1,0 & 0 \\ -3,0 & 10,4 & -15,5 & -3,0 & 10,4 \\ -0,57 & 2,04 & 0,86 & -0,57 & 2,04 \end{array}$$

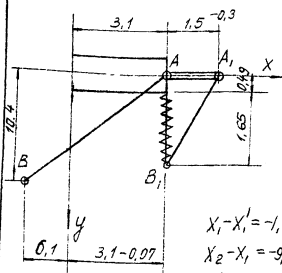
$$D = -9,05 - 8,85 + 8,25 - 31,65 = -41,3$$

$$|D'| = \sqrt{(-3,0 \times 2,04 + 10,4 \times 1,07)^2 + (10,4 \times 0,36 + 15,5 \times 2,04)^2 + (15,5 \times 0,57 + 5,0 \times 0,86)^2} =$$

$$= \sqrt{5^2 + 40,65^2 + 11,2^2} = \sqrt{1752} = 41,8$$

$$\delta = \frac{|D|}{|D'|} = \frac{41,3}{41,8} = 0,99 \text{ м} \approx [1,0 \text{ м}]$$

Правый габарит:



Координаты точек двух
прямых при $\alpha = 0^\circ$

$$A (X_1 = 3,1; Y_1 = 0; Z_1 = 0)$$

$$B (X_2 = -6,1; Y_2 = 10,4; Z_2 = -15,5)$$

$$A_1 (X'_1 = 4,3; Y'_1 = 0; Z'_1 = -1,43)$$

$$B_1 (X'_2 = 3,03; Y'_2 = 2,14; Z'_2 = -0,57)$$

$$X_1 - X'_1 = -1,2; Y_1 - Y'_1 = 0; Z_1 - Z'_1 = 1,43$$

$$X_2 - X_1 = -9,2; Y_2 - Y_1 = 10,4; Z_2 - Z_1 = -15,5;$$

$$X'_2 - X'_1 = -1,27; Y'_2 - Y'_1 = 2,14; Z'_2 - Z'_1 = 0,86$$

-1,2	0	1,43	-1,2	0
-9,2	10,4	-15,5	-9,2	10,4
-1,27	2,14	0,86	-1,27	2,14

$$D = -10,7 - 27,9 + 18,9 - 39,8 = -59,5$$

$$|D'| = \sqrt{(-9,2 \times 2,14 + 10,4 \times 1,27)^2 + (10,4 \times 0,86 + 15,5 \times 2,14)^2 + (15,5 \times 1,27 + 9,2 \times 0,86)^2} =$$

$$= \sqrt{-6,3^2 + 42,1^2 + 27,5^2} = \sqrt{2565} = 50,9$$

$$\delta = \frac{59,5}{50,9} = 1,17 \text{ м} > [1,0 \text{ м}]$$

Координаты точек двух прямых при $\alpha = 40^\circ$ без
обводной консоли

$$A (X_1 = 3,1; Y_1 = 0; Z_1 = 0)$$

$$B (X_2 = -6,1; Y_2 = 10,4; Z_2 = -15,5)$$

$$A_1 (X'_1 = 2,8; Y'_1 = 0; Z'_1 = -1,43)$$

$$B_1 (X'_2 = 3,53; Y'_2 = 2,04; Z'_2 = -0,57)$$

$$X_1 - X_1' = 0,3; \quad y_1 - y_1' = 0; \quad Z_1 - Z_1' = 1,43;$$

$$X_2 - X_1 = -9,1; \quad y_2 - y_1 = 10,4 \quad Z_2 - Z_1 = -15,5;$$

$$X_2' - X_1' = 0,73; \quad y_2' - y_1' = 2,04; \quad Z_2' - Z_1' = 0,86;$$

0,3	0	1,43	0,3	0
9,1	10,4	-15,5	-9,1	10,4
0,73	2,04	0,86	0,73	2,04

$$D = 10,85 - 9,5 - 2,7 + 26,55 = 25,2$$

$$|D'| = \sqrt{(-9,1 \times 2,04 + 10,4 \times 0,73)^2 + (10,4 \times 0,86 + 15,5 \times 2,04)^2 + (15,5 \times 1,27 + 9,1 \times 0,86)^2} =$$

$$= \sqrt{-10,9^2 + 40,6^2 + 27,5^2} = 50,2$$

$$\delta = \frac{25,2}{50,2} = 0,5 < 1,0 \text{ м.}$$

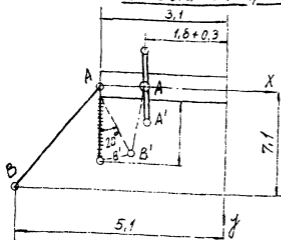
Значит; обводная консоль необходима на всех углах поворота лица.

Б. Анкерно-угловая опора УСБ 110-3. при H=8,5r

Расчет проводим для условий опоры УБ 110-1

Левый габарит

Угол поворота ВЛ $\alpha = 0^\circ$



$$A(x_1 = -3,1; y_1 = 0; z_1 = 0)$$

$$B(x_2 = -5,1; y_2 = 7,1; z_2 = -11,5)$$

$$A_1(x'_1 = -2,1; y'_1 = 1,245; z'_1 = -1,43)$$

$$B_1(x'_2 = -3,17; y'_2 = 2,14; z'_2 = -0,57)$$

$$x_1 - x'_1 = -1,0; \quad y_1 - y'_1 = -1,245; \quad z_1 - z'_1 = 1,43;$$

$$x_2 - x_1 = -2,0; \quad y_2 - y_1 = 7,1; \quad z_2 - z_1 = -11,5;$$

$$x'_2 - x'_1 = -1,07; \quad y'_2 - y'_1 = 0,895; \quad z'_2 - z'_1 = 0,86;$$

-1,0	-1,245	1,43	-1,0	-1,245
-2,0	7,1	-11,5	-2,0	-7,1
-1,07	0,895	0,86	-1,07	0,895

$$D = -6,1 - 15,35 - 2,55 + 10,85 - 10,3 - 2,15 = -25,6$$

$$D' = \sqrt{(-2 \times 0,895 + 7,1 \times 1,07)^2 + (7,1 \times 0,86 + 11,5 \times 0,895)^2 + (11,5 \times 1,17 + 2,0 \times 0,86)^2} =$$

$$= \sqrt{5,8^2 + 17,4^2 + 14,0^2} = \sqrt{532} = 23,1$$

$$\delta = \frac{25,6}{23,1} = 1,11 \text{ м} > [1,0 \text{ м}]$$

Угол поворота ВЛ $\alpha = 40^\circ$; Подвесная гирлянда одна

$$A(x_1 = -3,1; y_1 = 0; z_1 = 0;)$$

$$B(x_2 = -5,1; y_2 = 7,1; z_2 = -11,5)$$

$$A_1(x'_1 = -2,1; y'_1 = 0; z'_1 = -1,43)$$

$$B_1(x'_2 = -2,67; y'_2 = 2,04; z'_2 = -0,57)$$

$$\begin{aligned}
 X_1 - X_1' &= -1,0; & Y_1 - Y_1' &= 0; & Z_1 - Z_1' &= +1,43; \\
 X_2 - X_1 &= -2,0; & Y_2 - Y_1 &= 7,1; & Z_2 - Z_1 &= -11,5; \\
 X_2' - X_1' &= -0,57; & Y_2' - Y_1' &= 2,04; & Z_2' - Z_1' &= 0,86;
 \end{aligned}$$

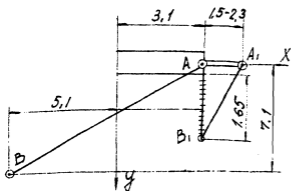
~~$$\begin{array}{ccccc}
 -1,0 & 0 & 1,43 & -1,0 & 0 \\
 -2,0 & 7,1 & -11,5 & -2,0 & 7,1 \\
 -0,57 & 2,04 & 0,86 & -0,57 & 2,04
 \end{array}$$~~

$$D = -6,1 - 5,85 + 5,8 - 23,5 = -29,65$$

$$\begin{aligned}
 |D'| &= \sqrt{(-2 \times 2,04 + 7,1 \times 0,57)^2 + (7,1 \times 0,86 + 11,5 \times 2,04)^2 + [-2,0 \times 0,86 + (-11,5 \times 0,57)]^2} = \\
 &= \sqrt{0 + 29,1^2 + 7,4^2} = 29,9
 \end{aligned}$$

$$\delta = \frac{29,65}{29,9} \approx 1,0 \text{ м} \approx [1,0 \text{ м}]$$

Правый габарит



Угол поворота ВЛ $\alpha = 0^\circ$

$$A(X_1 = 3,1; Y_1 = 0; Z_1 = 0);$$

$$B(X_2 = -5,1; Y_2 = 7,1; Z_2 = -11,5)$$

$$A_1(X_1' = 4,3; Y_1' = 0; Z_1' = -1,43);$$

$$B_1(X_2' = 3,03; Y_2' = 2,14; Z_2' = -0,57)$$

$$X_1 - X_1' = -1,2; \quad Y_1 - Y_1' = 0; \quad Z_1 - Z_1' = 1,43;$$

$$X_2 - X_1 = -8,2; \quad Y_2 - Y_1 = 7,1; \quad Z_2 - Z_1 = -11,5;$$

$$X_2' - X_1' = -1,27; \quad Y_2' - Y_1' = 2,14; \quad Z_2' - Z_1' = 0,86;$$

$$-1,2 \quad 0 \quad 1,43 \quad -1,2 \quad 0$$

$$-8,2 \quad 7,1 \quad -11,5 \quad -8,2 \quad 7,1$$

$$-1,27 \quad 2,14 \quad 0,86 \quad -1,27 \quad 2,14$$

$$D = -7,30 - 25,1 + 12,9 - 29,5 = -49,0$$

$$|D'| = \sqrt{(-8,2 \times 2,14 + 1,27 \times 7,1)^2 + (7,1 \times 0,86 + 11,5 \times 2,14)^2 + (11,5 \times 1,27 + 8,2 \times 0,86)^2} =$$

$$= \sqrt{(-17,55 + 9,0)^2 + (6,1 + 24,6)^2 + (14,6 + 7,1)^2} =$$

$$= \sqrt{73 + 938 + 472} = \sqrt{1483} = 38,6$$

$$\delta = \frac{49,0}{38,6} = 1,27 \text{ m} > [1,0 \text{ m}]$$

В. Концевая угловая опора КСБ 110-1

Провод АС-95, IV р.г; пролет 160 м по работе
1950тм-тв; $t = +15^{\circ}\text{C}$; $C = 0$; $q = 6,25 \text{ кг/м}^2$;

$$B = 1,85 \text{ кг/мм}^2; \quad \varphi = 6,22 \text{ м};$$

1. Определяем провисание конца натяжной гирлянды:

$$L_{\text{гирл}} = 1,68 \text{ м}; \quad Q_{\text{гирл}} \approx 53 \text{ кг (см. 1571тм-тз)}$$

$$\varphi_r = 0,47 \text{ м см. расчет УБ110-1.}$$

с учетом болтового зажима $\varphi_r = 0,57 \text{ м}$;

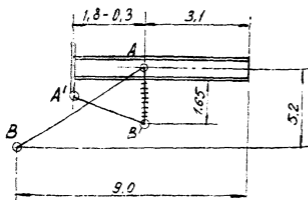
2. Длина гирлянды с учетом провисания $L_{\text{гирл}} = 1,65 \text{ м}$.

3. Отклонение конца натяжной гирлянды $0,07 \text{ м}$

4. Отклонение подвешенной гирлянды принимаем 30 см .

Левый (правый) габарит.

Угол поворота D°



Координаты точек

$$A (x_1 = -3,1; y_1 = 0; z_1 = 0;)$$

$$B (x_2 = -9,0; y_2 = 5,2; z_2 = -15,5;)$$

$$A_1 (x'_1 = -4,6; y'_1 = 1,245; z'_1 = -1,43;)$$

$$B_1 (x'_2 = -3,03; y'_2 = 2,14; z'_2 = -0,5;)$$

$$x_1 - x'_1 = 1,50; \quad y_1 - y'_1 = -1,245; \quad z_1 - z'_1 = 1,43;$$

$$x_2 - x_1 = -5,9; \quad y_2 - y_1 = 5,2 \quad z_2 - z_1 = 15,5;$$

$$x'_2 - x'_1 = +1,57; \quad y'_2 - y'_1 = 0,895; \quad z'_2 - z'_1 = 0,86;$$

1,5	-1,245	1,43	1,5	-1,245
-5,9	5,2	-15,5	-5,9	5,2
+1,57	0,895	0,86	+1,57	0,895

$$D = 67 + 30,3 - 7,6 - 11,7 + 20,8 - 6,3 = 32,2$$

$$D' = \sqrt{(-5,9 - 0,885 - 1,57 \cdot 5,2)^2 + (5,2 \cdot 0,86 + 15,5 \cdot 0,895)^2 + (-5,9 \cdot 0,86 + 1,57 \cdot 15,5)^2} =$$

$$= \sqrt{13,5^2 + 13,4^2 + 19,2^2} = \sqrt{887} = 29,9$$

$$\delta = \frac{D}{D'} = \frac{32,2}{29,9} = 1,08 \text{ м} > [1,0 \text{ м}]$$

Угол поворота ВЛ $\alpha = 60^\circ$

Координаты точек

$$A(X_1 = -3,1; Y_1 = 0; Z_1 = 0,)$$

$$B(X_2 = -9,0; Y_2 = 5,2; Z_2 = -15,5;)$$

$$A_1(X_1' = -4,6; Y_1' = 1,245; Z_1' = -1,43)$$

$$B_1(X_2' = -3,85; Y_2' = 1,92; Z_2' = -0,57)$$

$$X_1 - X_1' = 1,5; \quad Y_1 - Y_1' = -1,245; \quad Z_1 - Z_1' = 1,43;$$

$$X_2 - X_1 = -5,9; \quad Y_2 - Y_1 = 5,2; \quad Z_2 - Z_1 = -15,5;$$

$$X_2' - X_1' = 0,75; \quad Y_2' - Y_1' = +0,675; \quad Z_2' - Z_1' = 0,86,$$

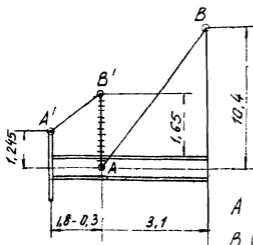
1,5	-1,245	1,43	1,5	-1,245
-5,9	5,2	-15,5	-5,9	5,2
0,75	0,675	0,86	0,75	0,675

$$D = 6,7 + 14,5 - 5,7 - 5,6 + 15,7 - 6,3 = 19,3$$

$$D' = \sqrt{(-0,675 \cdot 5,9 + 0,75 \cdot 5,2)^2 + (5,2 \cdot 0,86 + 0,675 \cdot 15,5)^2 + (-5,9 \cdot 0,86 + 15,5 \cdot 0,75)^2} =$$

$$= \sqrt{7,9^2 + 15,8^2 + 6,6^2} = \sqrt{356} = 18,9$$

$$\delta = \frac{D}{D'} = \frac{19,3}{18,9} = 1,02 \text{ м} > [1,0 \text{ м}]$$



Проверка габаритов при
ближения к оттяжкам
со стороны портала.

Угол поворота ВЛ $\alpha = 0^\circ$

Координаты точек

$$A (X_1 = -3,1; Y_1 = 0; Z_1 = 0)$$

$$B (X_2 = 0; Y_2 = -10,4; Z_2 = -15,5)$$

$$A' (X'_1 = -4,6; Y'_1 = -1,245; Z'_1 = -1,43)$$

$$B' (X'_2 = -3,03; Y'_2 = -2,14; Z'_2 = -0,57)$$

$$X_1 - X'_1 = 1,5; \quad Y_1 - Y'_1 = 1,245; \quad Z_1 - Z'_1 = 1,43;$$

$$X_2 - X_1 = 3,1; \quad Y_2 - Y_1 = -10,4; \quad Z_2 - Z_1 = -15,5;$$

$$X'_2 - X'_1 = 1,57; \quad Y'_2 - Y'_1 = -0,895; \quad Z'_2 - Z'_1 = 0,86$$

1,5	1,245	1,43	1,50	1,245
3,1	-10,4	-15,5	3,10	-10,4
1,57	-0,895	0,86	1,57	-0,895

$$D = -13,4 - 30,3 - 4,0 + 23,4 - 20,8 - 3,3 = -48,4;$$

$$D' = \sqrt{(-3,1 \cdot 0,895 + 1,57 \cdot 10,4)^2 + (-10,4 \cdot 0,86 - 15,5 \cdot 0,895)^2 + (3,1 \cdot 0,86 + 1,57 \cdot 15,5)^2} =$$

$$= \sqrt{13,5^2 + 22,8^2 + 27,0^2} = \sqrt{1425} = 37,8$$

$$\delta = \frac{48,4}{37,8} = 1,28 > [1,0 \text{ м}]$$

Угол поворота ВЛ $\alpha = 60^\circ$

Координаты точек:

$$A (X_1 = -3,1; Y_1 = 0; Z_1 = 0)$$

$$B (X_2 = 0; Y_2 = -10,4; Z_2 = -15,5)$$

$$A_1 (X'_1 = -4,6; Y'_1 = -1,245; Z'_1 = -1,43)$$

$$B_1 (X'_2 = -2,31; Y'_2 = -1,92; Z'_2 = -0,57)$$

$$\begin{aligned}
 X_1 - X_1' &= 1,5; & Y_1 - Y_1' &= 1,245; & Z_1 - Z_1' &= 1,43; \\
 X_2 - X_1 &= 3,1; & Y_2 - Y_1 &= -10,4; & Z_2 - Z_1 &= -15,5; \\
 X_2' - X_1' &= 2,29; & Y_2' - Y_1' &= -0,675; & Z_2' - Z_1' &= 0,86;
 \end{aligned}$$

1,5	1,245	1,43	1,5	1,245
3,1	-10,4	-15,5	3,1	-10,4
2,29	-0,675	0,86	2,29	-0,675

$$D = -13,4 - 44,3 - 3,0 + 33,0 - 15,7 - 3,3 = -46,7$$

$$\begin{aligned}
 D' &= \sqrt{(-3,1 - 0,675 + 10,4 \times 2,29)^2 + (-10,4 \times 0,86 - 15,5 - 0,675)^2 + (3,1 \times 0,86 + 15,5 \times 2,29)^2} = \\
 &= \sqrt{21,7^2 + 19,4^2 + 37,2^2} = \sqrt{2224} = 47,2
 \end{aligned}$$

$$\delta = \frac{46,7}{47,2} = 0,992 \text{ м} \approx 1,0 \text{ м.}$$

Расчёт выполнил рук. группы Великий / В. Соловьев;
26/11 - 1982г.